



INSTYTUT BADAWCZY LEŚNICTWA

Zakład Zarządzania Zasobami Leśnymi

Symbole: UKD 630.6, 630.2, 630.1
PKT 60.33.00, 60.19.00, 60.09.00
LKO 524.61

Rodzaj sprawozdania: **Ekspertyza**

Zleceniodawca: **Dyrekcja Generalna Lasów Państwowych**

Nr tematu: **620404**

Nr umowy: EZ.271.2.5.2021 zawartej w dniu 08.02.2021 roku w Warszawie

Tytuł tematu: **„Konsekwencje objęcia ochroną ścisłą znacznych obszarów leśnych Polski (wdrożenie jednego z celów unijnej Strategii na rzecz bioróżnorodności do 2030 roku - objęcie ścisłą ochroną 10% obszarów lądowych, w tym wszystkich pozostałych w UE lasów pierwotnych i starodrzewów), na możliwość sekwestracji węgla (netto) przez polskie lasy oraz produkcję drewna z uwzględnieniem sortymentacji”**

Kierownik projektu: dr inż. Emilia Wysocka-Fijorek

Wykonawcy: inż. Ewelina Dobrowolska, mgr inż. Artur Michorczyk, mgr inż. Marcin Myszkowski, dr inż. Bożydar Neroj, mgr inż. Adam Wasiak, mgr inż. Patryk Waraksa, dr inż. Emilia Wysocka-Fijorek, dr inż. Stanisław Zajączkowski

Kierownik Zakładu

Dyrektor Instytutu

Sękocin Stary, luty 2021 r.

SPIS TREŚCI

| | | |
|----------|--|-----------|
| 1 | Ogólne założenia ekspertyzy | 5 |
| 2 | Cel i zakres pracy | 9 |
| 3 | Metodyka..... | 10 |
| 4 | Przygotowanie danych do sporządzenia prognoz na potrzeby ekspertyzy | 15 |
| 4.1. | Dane do sporządzenia prognoz rozwoju zasobów drzewnych..... | 15 |
| 4.2. | Dane do określenia struktury sortymentowej pozyskanego drewna | 18 |
| 4.3. | Dane do oszacowania zmian przychodów z tytułu zmian w wielkości i strukturze pozyskanego drewna..... | 19 |
| 4.4. | Dane do oszacowania ilości wiązania węgla w biomasie nadziemnej..... | 19 |
| 5 | Wyniki..... | 21 |
| 5.1 | Prognoza rozwoju zasobów leśnych oraz możliwości użytkowania głównego według przyjętych scenariuszy..... | 21 |
| 5.2 | Prognoza struktury sortymentowej pozyskanego drewna | 35 |
| 5.3 | Prognoza utraconych przychodów | 39 |
| 5.4 | Prognoza ilości biomasy..... | 41 |
| 5.5 | Prognoza zasobów zakumulowanego węgla w żywej biomasie | 43 |
| 5.6 | Prognoza ilości zakumulowanego węgla w drewnie planowanym do pozyskania .. | 47 |
| 5.7 | Prognoza ilości zakumulowanego węgla w biomasie oraz w drewnie planowanym do pozyskania | 48 |
| 6 | Dyskusja | 50 |
| 7 | Podsumowanie | 55 |
| 8 | Literatura | 56 |

1 OGÓLNE ZAŁOŻENIA EKSPERTYZY

Ekspertyza pt. „Konsekwencje objęcia ochroną ścisłą znacznych obszarów leśnych Polski (wdrożenie jednego z celów unijnej Strategii na rzecz bioróżnorodności do 2030 roku – objęcie ścisłą ochroną 10% obszarów lądowych, w tym wszystkich pozostałych w UE lasów pierwotnych i starodrzewów) na możliwość sekwestracji węgla (netto) przez polskie lasy oraz produkcję drewna z uwzględnieniem sortymentacji” przygotowana została przez **konsorcjum** złożone z **Instytutu Badawczego Leśnictwa** oraz **Biura Urządzania Lasu i Geodezji Leśnej** na zlecenie Dyrekcji Generalnej Lasów Państwowych, zgodnie z umową nr EZ.271.2.5.2021 zawartą w dniu 08.02.2021 roku w Warszawie.

Ekspertyza, zgodnie z założeniami opisanymi poniżej, skupia się na prognozie rozwoju zasobów drzewnych i możliwościach użytkowania drewna. Zmiany zasobów węgla w biomasie nadziemnej lasów oraz struktura pozyskiwanych sortymentów są pochodną prognozy.

Przyjęte scenariusze należy traktować jako podejście teoretyczne, ponieważ tak istotna, gwałtowna, zmiana zasad prowadzenia gospodarki leśnej, mogłaby spowodować trudne do przewidzenia konsekwencje dla aktualnych ekosystemów leśnych. Dotyczy to zarówno zmian wielkości zasobów drzewnych, ich stanu zdrowotnego oraz stabilności i odporności na czynniki biotyczne i abiotyczne, które ulegają w ostatnich dekadach istotnym wahaniom.

Aby możliwe było pełniejsze ocenienie konsekwencji takiego, konieczne jest uwzględnienie zarówno produktów z pozyskanego drewna oraz wynikające z mniejszej dostępności drewna, zastępujących go substytutów. Tych aspektów z przyczyn oczywistych, wykraczania poza obszar kompetencji autorów prognozy, niniejsza ekspertyza nie obejmuje. Ekspertyza dotyczy wstępnego, częściowego oszacowania możliwych skutków przyrodniczych i gospodarczych wdrożenia jednego z celów Unijnej Strategii na rzecz bioróżnorodności do 2030 roku (zwanej dalej Unijną Strategią), zakładającego objęcie znacznych obszarów ochroną ścisłą, tj. co najmniej 1/3 unijnych obszarów chronionych (czyli 10% obszarów lądowych i 10% obszarów morskich), w tym wszystkich pozostałych w UE lasów pierwotnych i starodrzewów.

Dyrekcja Generalna Lasów Państwowych przyjęła założenie, że wdrożenie wyżej wymienionego celu Unijnej Strategii w odniesieniu do obszarów lądowych oznacza potrzebę

objęcia w warunkach Polski ochroną ścisłą ponad 3 mln ha (łącznie z obszarami już chronionymi).

Zgodnie z wytycznymi Dyrekcji Generalnej Lasów Państwowych przyjęto następujące ogólne założenia na potrzeby sporządzanej ekspertyzy:

- w realizacji omawianej Unijnej Strategii Polska uczestniczyć będzie proporcjonalnie do przyjętego celu Strategii, tj. około 10% powierzchni lądowej zostanie przeznaczona do ochrony ścisłej;
- ochroną ścisłą będą obejmowane głównie lasy (gdyż ochrona ścisła łąk, gruntów ornych, czy terenów zabudowanych jest niecelowa, a obszary podmokłe i wysokogórskie w większości są już objęte ochroną);
- lasy w parkach narodowych oraz rezerwach przyrody są już w zasadzie objęte ochroną ścisłą.

Przygotowawczą analizę spodziewanych skutków realizacji omawianego celu Unijnej Strategii w Polsce przeprowadziła Dyrekcja Generalna Lasów Państwowych (DGLP). Analiza ta wskazuje, że aby spełnić postawiony cel, należałoby w Polsce objąć ochroną ścisłą dodatkowo około 2,7 mln ha, głównie lasów, w szczególności starodrzewów.

Skutki objęcia ochroną ścisłą tak dużych obszarów leśnych mogą być wstępnie oszacowane przez porównanie stanu lasów (szczególnie ich struktury wiekowej) oraz możliwości pozyskania drewna w warunkach realizacji Unijnej Strategii ze stanem lasów oraz możliwościami pozyskania drewna w dotychczas realizowanym modelu wielofunkcyjnej gospodarki leśnej (zwanej dalej gospodarką leśną).

W ekspertyzie przyjęto, że wyżej podane ogólne założenia (prowadzące w konsekwencji do objęcia ochroną ścisłą dodatkowo około 2,7 mln ha z lasów będących w zarządzie PGL Lasy Państwowe – bez rezerwatów) mogłyby być realizowane przez wyłączenie z gospodarki leśnej (z przeznaczeniem do ochrony ścisłej) wyżej wymienionej powierzchni lasów według trzech scenariuszy:

- 1) **scenariusz 1:** wyłączenie z wielofunkcyjnej gospodarki leśnej drzewostanów starszych klas wieku poczynając od drzewostanów najstarszych; należałoby wówczas wyłączyć

z wielofunkcyjnej gospodarki leśnej wszystkie drzewostany w wieku powyżej 80 lat oraz blisko połowę powierzchni drzewostanów IVb podklasy wieku;

- 2) **scenariusz 2:** wyłączenie z wielofunkcyjnej gospodarki leśnej najcenniejszych przyrodniczo kompleksów leśnych – łącznie 171 nadleśnictw;
- 3) **scenariusz 3:** wyłączenie z wielofunkcyjnej gospodarki leśnej najcenniejszych przyrodniczo kompleksów leśnych i drzewostanów najstarszych klas wieku – łącznie 108 nadleśnictw oraz VII, VI, Vb i części Va klas wieku.

Jako **scenariusz porównawczy** przyjęto dotychczasowy sposób prowadzenia gospodarki leśnej, tj. zgodnie z modelem wielofunkcyjnej gospodarki leśnej we wszystkich (z wyjątkiem rezerwatów) lasach w zarządzie PGL Lasy Państwowe, przyjmując, jako stan początkowy zaktualizowaną powierzchniowo-miąższościową tabelę klas wieku według stanu na 1 stycznia 2020 r.

Przyjęcie wyżej wymienionych scenariuszy wymagało odpowiedniego przygotowania danych dla lasów w zarządzie PGL Lasy Państwowe (z wyłączeniem rezerwatów przyrody). Należy przy tym podkreślić, że w związku z potrzebą przeprowadzenia szczegółowych analiz dotyczących poszczególnych scenariuszy, w podziale na część, w której ma być prowadzona gospodarka leśna oraz na część przeznaczoną do ochrony ścisłej, niezbędne było przygotowanie 7 wariantów danych – obejmujących w szczególności odpowiednie powierzchniowo-miąższościowe tabele klas wieku oraz wskaźniki intensywności użytkowania rębne i przedrębne dla niżej wymienionych obszarów.

Scenariusz zerowy (porównawczy):

- 1) **wariant „0” (porównawczy)** – obszar lasów w zarządzie PGL Lasy Państwowe, w którym gospodarka leśna prowadzona byłaby zgodnie z dotychczas obowiązującymi zasadami.

Scenariusz 1:

- 2) **wariant „1A”** – obszar lasów w zarządzie PGL Lasy Państwowe podlegający prowadzeniu gospodarki leśnej w młodszych klasach wieku;

- 3) **wariant „1B”** – obszar lasów w zarządzie PGL Lasy Państwowe nieuwzględnionych w wariantcie „1A”, tj. przeznaczonych do ochrony ścisłej o powierzchni około 2,721 mln ha, złożony z drzewostanów starszych klas wieku (KO, KDO, BP, VII i st., VI, V we wszystkich RDLP oraz IVb podklasa wieku w wybranych RDLP).

Scenariusz 2:

- 4) **wariant „2A”** – obszar lasów w zarządzie PGL Lasy Państwowe dla 259 nadleśnictw podlegających prowadzeniu gospodarki leśnej;
- 5) **wariant „2B”** – obszar lasów w zarządzie PGL Lasy Państwowe dla 171 nadleśnictw nieuwzględnionych w wariantcie „2A”, tj. przeznaczonych do ochrony ścisłej o powierzchni około 2,701 mln ha, złożony z nadleśnictw z obszarów górskich, wchodzących w skład LKP oraz położonych na terenie parków krajobrazowych.

Scenariusz 3:

- 6) **wariant „3A”** – obszar wybranych lasów w zarządzie PGL Lasy Państwowe podlegający prowadzeniu gospodarki leśnej;
- 7) **wariant „3B”** – obszar lasów w zarządzie PGL Lasy Państwowe nieuwzględnionych w wariantcie „3A”, tj. przeznaczonych do ochrony ścisłej o powierzchni około 2,709 mln ha, złożony ze 108 wybranych nadleśnictw oraz drzewostanów starszych klas wieku (VII, VI i częściowo Va klas wieku w wybranych RDLP).

2 CEL I ZAKRES PRACY

Podstawowym celem niniejszej ekspertyzy jest sporządzenie prognoz i przedstawienie wyników indukcyjnego prognozowania rozwoju zasobów drzewnych, rozmiaru użytkowania głównego w podziale na użytkowanie rębne i przedrębne w lasach w zarządzie PGL LP, dla wcześniej wymienionych trzech scenariuszy ograniczenia obszarów objętych gospodarką leśną oraz dla scenariusza porównawczego.

Sporządzenie tych prognoz umożliwi oszacowanie zmian struktury sortymentowej pozyskiwanego drewna w zależności od przyjętego scenariusza prognoz wraz z prognozą utraconych przychodów w zależności od przyjętego scenariusza w stosunku do scenariusza porównawczego (przewidującego prowadzenie w lasach w zarządzie PGL Lasy Państwowe gospodarki leśnej), dodatkowo umożliwi także oszacowanie wielkości akumulacji węgla w biomasie.

3 METODYKA

Do sporządzenia prognozy rozwoju zasobów drzewnych i możliwości użytkowania wykorzystano metodykę zaproponowaną przez Wysocką-Fijorek i Zajączkowskiego (2020).

Przygotowanie danych wejściowych

Opracowanie prognozy dla danego obszaru leśnego (np. na 30 lat) wymaga przygotowania określonych informacji wejściowych (startowych) dotyczących struktury lasu oraz przewidywanych działań gospodarczych realizowanych przy określonych założeniach.

Powierzchnia i miąższość drzewostanów w klasach i podklasach wieku – przy prognozach, jako wyjściowa, wykorzystywana jest aktualna powierzchnia i miąższość drzewostanów według klas i podklas wieku. Dane te zostały przygotowane na podstawie informacji z planów urządzenia lasu zawartych w Banku Danych o Lasach (BDL).

Wskaźniki intensywności użytkowania rębnego i przedrębnego według klas i podklas wieku nawiązują w sposób ilościowy do sposobu prowadzenia gospodarki leśnej i odzwierciedlają aktualny model prowadzenia gospodarki leśnej. Wskaźniki te (na 10 lat) ustalane są zwykle na podstawie danych z planów urządzenia lasu dla pojedynczych obiektów (obrębów/nadleśnictw) albo dla większych obszarów leśnych, przy czym:

- wskaźniki intensywności użytkowania rębnego obliczane są jako iloraz rozmiaru planowanego użytkowania rębnego ujętego w planie urządzenia lasu do miąższości poszczególnych klas i podklas wieku; informacje o planowanym rozmiarze użytkowania rębnego dla każdego z wydzieleń uzyskano z BDL;
- wskaźniki intensywności użytkowania przedrębnego określane są jako iloraz rozmiaru użytkowania przedrębnego do miąższości poszczególnych klas i podklas wieku. Rozdzielenie ogólnego miąższościowego rozmiaru użytkowania przedrębnego wynikającego z planów urządzenia lasu (zawartego w BDL) przeprowadzono za pomocą tablic wydajności cięć pielęgnacyjnych (IBL 1975). Tablice te pozwalają oszacować wysokość użytkowania przedrębnego w poszczególnych drzewostanach na podstawie gatunku, wieku oraz stopnia zwarcia. Dane (według klas i podklas wieku) wynikające z wyżej wymienionych tablic wydajności wyrównywane są następnie do

ogólnego rozmiaru użytkowania przedrębego zaplanowanego w danym obiekcie leśnym. Ostatecznie wskaźniki użytkowania przedrębego (na 10 lat) określono jako iloraz obliczonych w powyższy sposób wartości wynikających z planu urządzenia lasu do miąższości poszczególnych klas i podklas wieku.

Przyjęte możliwości użytkowania rębego i przedrębego na najbliższy okres prognozy – możliwości te wynikają z planów urządzenia lasu dla pojedynczych obiektów leśnych (np. nadleśnictw). Natomiast możliwości użytkowania dla większych obszarów przyjmuje się z sumy danych zawartych w planach urządzenia lasu obiektów wchodzących w skład danego obszaru. Odpowiednie wielkości – w miąższości grubizny netto i brutto – przyjmowane są w podziale na użytkowanie rębne i przedrębne.

Wskaźniki przeliczeniowe miąższości brutto na netto w użytkowaniu przedrębnym są niższe niż w użytkowaniu rębnym. W niniejszej ekspertyzie w użytkowaniu przedrębnym przyjęto wskaźnik stosowany w pracach urządzeniowych, tj. w wysokości 0,8, natomiast w użytkowaniu rębnym – w wysokości 0,84 (zgodnie z danymi z planów urządzenia lasu zawartymi w BDL).

Wskaźniki intensywności użytkowania rębego i przedrębego według klas i podklas wieku wynikające bezpośrednio z planów urządzenia lasu wymagają zwykle wyrównania do możliwości użytkowania rębego i przedrębego przyjętych na początkowy okres prognozy (w m³ grubizny brutto).

Wykorzystywane w ekspertyzie wskaźniki intensywności użytkowania rębego są zróżnicowane między klasami i podklasami wieku. Stopień tego zróżnicowania wynika zarówno ze stosowanych wieków rębności, jak również z konieczności przeznaczania w niektórych wypadkach do użytkowania rębego drzewostanów młodszych klas wieku (w szczególności z uwagi na ich stan hodowlany). Pośrednio zatem, wielkości te odzwierciedlają zarówno zróżnicowane gatunkowo wieki rębności, jak również potrzeby przebudowy drzewostanów w różnych klasach wieku.

Spodziewaną wielkość bieżącego przyrostu miąższości w przyjętych 10-letnich okresach prognozy dla poszczególnych obszarów leśnych w ramach wyróżnionych scenariuszy i wariantów oszacowano przy wykorzystaniu wzorów opracowanych na podstawie danych z WISL zawartych w pracy badawczej pt. „Aktualna i potencjalna produktywność siedlisk leśnych Polski dla głównych gatunków lasotwórczych”.

Przyjęta wielkość spodziewanego bieżącego przyrostu miąższości pozwala na określenie ogólnej wielkości zasobów drzewnych na końcu danego okresu (V_k) jako sumy miąższości na początku okresu (V_p) i spodziewanego bieżącego przyrostu miąższości (Z_v) pomniejszonej o wysokość użytkowania rębego i przedrębego (U), tj. zgodnie ze wzorem: $V_k = V_p + Z_v - U$. Określenie ogólnej miąższości na koniec okresu umożliwia – w toku dalszych obliczeń – oszacowanie przeciętnych zasobności na 1 ha w poszczególnych klas i podklas wieku na koniec kolejnych okresów prognozy.

Udział rębni złożonych w użytkowaniu rębnym oraz przeciętną długość okresu odnowienia określa się w stosunku do użytkowania realizowanego poza klasami odnowienia. Potrzeba znajomości miąższościowego udziału rębni złożonych w użytkowaniu rębnym wynika z konieczności oszacowania powierzchni manipulacyjnej cięć rębnych rębiami złożonymi, których realizacja (we wszystkich klasach wieku z wyjątkiem klas odnowienia) łączy się z przechodzeniem drzewostanów do najmłodszych klas wieku przez klasę odnowienia. Przyjmuje się, że wielkość powierzchni manipulacyjnej drzewostanów z poszczególnych klas i podklas wieku (bez klasy odnowienia) użytkowanych rębiami złożonymi jest uzależniona od długości przeciętnego okresu odnowienia. Powierzchnię tę, według klas i podklas wieku, oblicza się jako iloczyn powierzchni oraz trzech wielkości:

- 1) wskaźnika użytkowania rębego,
- 2) udziału w użytkowaniu rębnym rębni złożonych,
- 3) długości przeciętnego okresu odnowienia – wyrażonego w 10-leciach (np. przy przeciętnej długości okresu odnowienia 25 lat, mnożnik będzie równy 2,5).

Przyjęty – według podklas wieku – rozkład młodego pokolenia po cięciach uprzątających w klasie odnowienia łączy się z przechodzeniem powierzchni objętych użytkowaniem do najmłodszych klas wieku. W powiązaniu z długością okresu odnowienia, powierzchnie te po wykonaniu cięć uprzątających (w zależności od wieku panującego) trafiają zazwyczaj do Ia, Ib oraz IIa podklasy wieku.

Przeciętny wiek drzewostanów w klasie odnowienia – przyjęcie tego wieku w określonej wysokości umożliwia obliczenie przeciętnego wieku drzewostanów na danym obszarze leśnym w kolejnych okresach prognozy.

Dane wejściowe/startowe przygotowano na podstawie informacji z BDL zaktualizowanych na 1 stycznia 2020 rok. Dane wejściowe przygotowano w oparciu o zestawienia niestandardowe, przygotowane na potrzeby niniejszej ekspertyzy.

W oparciu o dane wejściowe, wykonano prognozę rozwoju zasobów drzewnych oraz możliwości użytkowania głównego dla trzech okresów dziesięcioletnich. Tok postępowania był następujący:

- 1) Miąższość poszczególnych klas i podklas wieku przemnożono przez wskaźniki intensywności użytkowania rębego i przedrębego. Po zsumowaniu wyników z poszczególnych klas i podklas wieku otrzymuje się możliwości użytkowania rębego oraz użytkowania przedrębego w wymiarze miąższościowym (w m³ grubizny brutto).
- 2) Na podstawie danych zawartych we wskazówkach gospodarczych planów urządzenia lasu określa się udział w użytkowaniu rębnym sumarycznej miąższości użytkowanej rębiami złożonymi w klasach wieku (bez klas odnowienia); dopełnienie do jedności określa udział rębni zupełnych.
- 3) Wskaźniki intensywności użytkowania rębego przemnaża się przez powierzchnię poszczególnych klas i podklas wieku (w tym także przez powierzchnię klasy odnowienia) w podziale na użytkowanie rębne rębiami zupełnymi i złożonymi. Wynikające stąd wartości określają wielkość powierzchni, która – w zależności od grupy rębni (zupełne, złożone) oraz klasy wieku w jakiej jest realizowana – powinna być dodana po przesunięciach (patrz pkt 4) do:
 - Ia podklasy wieku – w wypadku realizacji rębni zupełnych w klasach wieku (poza klasą odnowienia);
 - klasy odnowienia – w wypadku realizacji rębni złożonych w klasach wieku (bez klasy odnowienia); wskaźnik użytkowania rębego rębiami złożonymi określa udział w użytkowaniu rębnym użytkowania rębiami złożonymi;
 - najmłodszych podklas wieku (np. Ia, Ib, IIa) – w wypadku realizacji cięć uprzętających w klasach odnowienia, przy czym udział powierzchni przesuwanych do poszczególnych podklas wieku określa się na podstawie dotychczasowych doświadczeń.
- 4) Pozostającą – po odjęciu z poszczególnych klas i podklas wieku powierzchni zredukowanej (w wypadku rębni zupełnych) oraz powierzchni manipulacyjnej (w wypadku rębni złożonych) – powierzchnię poszczególnych podklas wieku przesuwa się o jedną podklasę

wieku, a w przypadku VI klasy wieku – do VII klasy przesuwana jest połowa powierzchni. Pozostającej powierzchni VII klasy wieku oraz powierzchni klas odnowienia nie przesuwa się do starszych klas wieku.

- 5) Do powierzchni najmłodszych klas wieku (po przesunięciach) dodaje się powierzchnię zredukowaną wynikającą z użytkowania rębnych rębniami zupełnymi oraz rębniami złożonymi w klasach odnowienia (zgodnie z zasadami przedstawionymi w pkt. 3).
- 6) Dodatkowo Ia podklasę wieku powiększa się o powierzchnię przewidywanych w 10-leciu nowych zalesień.
- 7) Ustaloną w powyższy sposób powierzchnię poszczególnych klas i podklas wieku na koniec okresu prognozy przemnaża się przez odpowiadającą im przewidywaną przeciętną zasobność (ustaloną zgodnie z zasadami przedstawionymi przy omawianiu spodziewanej wielkości bieżącego przyrostu miąższości w przyjętych okresach prognozy), w wyniku czego otrzymuje się miąższościową tabelę klas wieku na koniec danego okresu prognozy.
- 8) Sporządzanie prognozy na kolejne okresy przebiegać będzie według wyżej przedstawionego sposobu postępowania w pierwszym 10-letnim okresie.

W analogiczny sposób sporządzono prognozy rozwoju zasobów drzewnych we wszystkich scenariuszach i ich wariantach w dziesięcioletnich interwałach czasowych.

4 PRZYGOTOWANIE DANYCH DO SPORZĄDZENIA PROGNOZ NA POTRZEBY EKSPERTYZY

Na potrzeby ekspertyzy zostały wykonane prognozy rozwoju zasobów drzewnych oraz możliwości użytkowania głównego (w podziale użytkowanie rębne i przedrębne) wraz z prognozami dotyczącymi kształtowania się (w przyjętych scenariuszach i wariantach w ramach scenariuszy) struktury sortymentowej oraz przychodów ze sprzedaży pozyskanego drewna, a także ilości wiązania węgla w biomase nadziemnej. W związku z tym na potrzeby sporządzenia wyżej wymienionych prognoz/analiz przygotowano odpowiednie dane w niżej podanym zakresie.

4.1. Dane do sporządzenia prognoz rozwoju zasobów drzewnych

W celu sporządzenia prognozy rozwoju zasobów drzewnych oraz możliwości użytkowania głównego (w podziale na użytkowanie rębne i przedrębne), przygotowano dane startowe dla wcześniej przedstawionych scenariuszy (z uwzględnieniem odpowiednich wariantów) według stanu na 1 stycznia 2020 roku. Są to następujące dane:

- 1) zaktualizowana powierzchnia i miąższość drzewostanów według klas wieku – sporządzona na podstawie danych zawartych w BDL (Tabela 1):

Tabela 1 Powierzchnia i miąższość drzewostanów w klasach i podklasach wieku wg scenariuszy i ich wariantów

| Klasy wieku | "0" | | "1A" | | "1B" | | "2A" | | "2B" | | "3A" | | "3B" | |
|-----------------------------|-------------------|-----------------------------|------------------|-----------------------------|-------------------|-----------------------------|------------------|-----------------------------|-------------------|-----------------------------|-------------------|-----------------------------|-------------------|-----------------------------|
| | powierzchnia [ha] | miąższość [m ³] | powierchnia [ha] | miąższość [m ³] | powierzchnia [ha] | miąższość [m ³] | powierchnia [ha] | miąższość [m ³] | powierzchnia [ha] | miąższość [m ³] | powierzchnia [ha] | miąższość [m ³] | powierzchnia [ha] | miąższość [m ³] |
| Grunty leśne niezal. | 154 782 | 2 261 356 | 154 782 | 2 261 356 | | | 102 349 | 1 403 621 | 52 438 | 857 736 | 129 579 | 1 810 597 | 25 207 | 450 760 |
| Przestoje | | 12 707 324 | | 12 479 017 | | 228 306 | | 8 078 995 | | 4 628 332 | | 9 755 148 | 0 | 2 952 178 |
| Ia | 334 501 | 823 453 | 334 501 | 823 453 | | | 226 673 | 551 089 | 107 827 | 272 365 | 277 332 | 691 133 | 57 167 | 132 320 |
| Ib | 427 634 | 6 946 995 | 427 634 | 6 946 995 | | | 285 757 | 4 859 240 | 141 875 | 2 087 755 | 347 204 | 5 794 604 | 80 432 | 1 152 392 |
| IIa | 492 589 | 50 284 856 | 492 589 | 50 284 856 | | | 318 381 | 33 480 950 | 174 207 | 16 803 906 | 390 731 | 40 918 519 | 101 856 | 9 366 338 |
| IIb | 458 013 | 89 530 328 | 458 013 | 89 530 328 | | | 299 917 | 58 857 964 | 158 095 | 30 672 365 | 370 568 | 72 841 837 | 87 446 | 16 688 491 |
| IIIa | 538 550 | 141 808 080 | 538 550 | 141 808 080 | | | 344 983 | 90 605 415 | 193 568 | 51 202 663 | 427 784 | 112 657 870 | 110 767 | 29 150 207 |
| IIIb | 875 843 | 274 358 418 | 875 843 | 274 358 418 | | | 577 461 | 179 710 901 | 298 379 | 94 647 520 | 710 666 | 221 426 466 | 165 177 | 52 931 954 |
| IVa | 799 356 | 262 745 711 | 799 356 | 262 745 711 | | | 506 472 | 165 354 732 | 292 883 | 97 390 978 | 621 655 | 202 848 070 | 177 702 | 59 897 641 |
| IVb | 627 826 | 218 632 034 | 211 583 | 70 304 289 | 416 244 | 148 327 745 | 380 591 | 132 029 901 | 247 236 | 86 602 132 | 475 588 | 164 497 877 | 152 239 | 54 134 155 |
| Va | 603 389 | 222 325 977 | | | 603 389 | 222 325 977 | 357 798 | 131 109 708 | 245 591 | 91 216 267 | 157 161 | 55 556 899 | 446 225 | 166 769 079 |
| Vb | 461 780 | 177 809 962 | | | 461 780 | 177 809 962 | 267 639 | 102 492 572 | 194 140 | 75 317 391 | | | 461 780 | 177 809 962 |
| VI | 380 184 | 153 104 925 | | | 380 184 | 153 104 925 | 220 008 | 87 330 798 | 160 173 | 65 774 130 | | | 380 184 | 153 104 925 |
| VII | 190 856 | 77 074 782 | | | 190 856 | 77 074 782 | 111 551 | 44 757 611 | 79 309 | 32 317 172 | | | 190 856 | 77 074 782 |
| KO, KDO, BP | 668 552 | 182 373 965 | | | 668 552 | 182 373 965 | 313 401 | 83 544 500 | 355 153 | 98 829 471 | 396 869 | 105 806 376 | 271 686 | 76 567 591 |
| RAZEM | 6 859 073 | 1 870 526 810 | 4 138 069 | 909 281 147 | 2 721 005 | 961 245 662 | 4 210 632 | 1 122 764 376 | 2 648 436 | 747 762 447 | 4 175 558 | 992 794 799 | 2 683 517 | 877 732 015 |
| OGÓLEM | 7 013 855 | 1 872 788 166 | 4 292 851 | 911 542 503 | 2 721 005 | 961 245 662 | 4 312 981 | 1 124 167 997 | 2 700 874 | 748 620 183 | 4 305 137 | 994 605 396 | 2 708 724 | 878 182 775 |

- 2) w okresie prognozy nie uwzględniono zalesiania gruntów nieleśnych oraz przyjmowania gruntów leśnych.
- 3) wskaźniki intensywności użytkowania rębego i przedrębego według klas i podklas wieku – określone na podstawie danych z BDL (Tabela 2).

Tabela 2 Wskaźniki intensywności użytkowania rębego (W_R) i przedrębego (W_PR) według klas i podklas wieku

| Klasy wieku | "0" | | "1A" | | "2A" | | "3A" | |
|--------------------|-----------|-----------|-----------|-----------|-----------|-----------|-----------|-----------|
| | W_R | W_PR | W_R | W_PR | W_R | W_PR | W_R | W_PR |
| Ia | 0,0000000 | 0,1922180 | 0,0000000 | 0,1993134 | 0,0000000 | 0,2114679 | 0,0000000 | 0,1879000 |
| Ib | 0,0008216 | 0,3712124 | 0,0009053 | 0,3849151 | 0,0003760 | 0,3890192 | 0,0006000 | 0,3529000 |
| IIa | 0,0011867 | 0,2418329 | 0,0013076 | 0,2507597 | 0,0004700 | 0,2468920 | 0,0012000 | 0,2290000 |
| IIb | 0,0026473 | 0,2246951 | 0,0029169 | 0,2329894 | 0,0016921 | 0,2271881 | 0,0023000 | 0,2121000 |
| IIIa | 0,0041992 | 0,1964495 | 0,0046269 | 0,2037012 | 0,0033843 | 0,1984396 | 0,0039000 | 0,1846000 |
| IIIb | 0,0047469 | 0,1886212 | 0,0052304 | 0,1955838 | 0,0040423 | 0,1900412 | 0,0046000 | 0,1767000 |
| IVa | 0,0213612 | 0,1501141 | 0,0235367 | 0,1556553 | 0,0208698 | 0,1530020 | 0,0231000 | 0,1414000 |
| IVb | 0,0397100 | 0,1357268 | 0,0423459 | 0,1419436 | 0,0407054 | 0,1373896 | 0,0438000 | 0,1273000 |
| Va | 0,1592963 | 0,0736289 | | | 0,1870759 | 0,0692331 | 0,2280000 | 0,0556000 |
| Vb | 0,2305004 | 0,0484512 | | | 0,2711190 | 0,0456530 | | |
| VI | 0,2681108 | 0,0254951 | | | 0,3043038 | 0,0259490 | | |
| VII | 0,1781015 | 0,0144930 | | | 0,2015531 | 0,0170122 | | |
| KO, KDO, BP | 0,5216156 | 0,0002116 | | | 0,6423564 | 0,0002153 | 0,6829000 | 0,0002000 |

Wskaźniki intensywności użytkowania rębego i przedrębego dla wariantów 1b, 2b, 3b tj. objętych ochroną ścisłą są równe 0.

- 4) możliwości użytkowania rębego i przedrębego na I 10-lecie – określone na podstawie danych z BDL (Tabela 3).

Tabela 3 Możliwości użytkowania rębego i przedrębego brutto na I 10-lecie

| Użytkowanie [m ³ /10 lat] | "0" | "1A" | "2A" | "3A" |
|--------------------------------------|-------------|-------------|-------------|-------------|
| Rębne | 249 316 665 | 11 585 592 | 151 552 116 | 88 141 065 |
| Przedrębne | 216 221 825 | 169 730 711 | 136 017 979 | 149 940 241 |

- 5) oszacowana wielkość spodziewanego bieżącego przyrostu miąższości w kolejnych okresach prognozy – określono na podstawie wzorów z ekspertyzy wykonanej na zlecenie DGLP pn. „Aktualna i potencjalna produktywność siedlisk leśnych Polski dla głównych gatunków lasotwórczych” (Tabela 4).

Tabela 4 Spodziewana wielkość bieżącego przyrostu miąższości

| Przyrost [m ³ /ha/rok] | "0" | "1A" | "1B" | "2A" | "2B" | "3A" | "3B" |
|-----------------------------------|-----|------|------|------|------|------|------|
| 2020 - 2029 | 9,0 | 8,8 | 9,3 | 8,8 | 9,3 | 8,7 | 9,5 |
| 2030 - 2039 | 9,0 | 8,7 | 9,3 | 8,7 | 9,3 | 8,6 | 9,5 |
| 2040 - 2049 | 9,0 | 8,6 | 9,0 | 8,7 | 9,2 | 8,6 | 9,5 |

- 6) udział rębni zupełnych i złożonych w użytkowaniu rębnym (w drzewostanach poza klasą odnowienia) oraz przeciętne długości okresu odnowienia – określone na podstawie danych z BDL: 60% rębnie zupełne, 40% rębnie złożone.
- 7) rozkład młodego pokolenia według podklas wieku po cięciach uprzątających w klasie odnowienia – na podstawie dotychczasowego rozpoznania: Ia (40%), Ib (40%), IIa (20%).
- 8) przeciętny wiek drzewostanów w klasie odnowienia – na podstawie danych urządzeniowych: 110 lat.

4.2. Dane do określenia struktury sortymentowej pozyskanego drewna

Na podstawie danych dotyczących realizacji pozyskania drewna z trzech ostatnich lat oszacowano strukturę sortymentową pozyskanego drewna. Drewno pozyskane w PGL Lasy Państwowe podzielono na pięć głównych grup sortymentowych oraz grupę „inne”. Na tej podstawie określono strukturę sortymentową według podklas wieku w podziale na drewno pozyskane w użytkowaniu rębnym i przedrębnym (Tabela 5).

Tabela 5 Wskaźniki struktury pozyskania drewna wg głównych grup sortymentowych

| Sortyment | I | | II | | III | | IV | | V | | VI | VII | KO, KDO BP |
|-------------------|-------|-------|-------|-------|-------|-------|-------|-------|-------|-------|-------|-------|---------------|
| | a | b | a | b | a | b | a | b | a | b | | | |
| przedrębne | | | | | | | | | | | | | |
| S2 | 0,328 | 0,512 | 0,866 | 0,882 | 0,828 | 0,768 | 0,667 | 0,561 | 0,482 | 0,382 | 0,340 | 0,316 | 0,314 |
| S4 | 0,125 | 0,147 | 0,056 | 0,059 | 0,060 | 0,059 | 0,073 | 0,086 | 0,079 | 0,080 | 0,085 | 0,120 | 0,100 |
| WB | 0,072 | 0,031 | 0,002 | 0,002 | 0,006 | 0,014 | 0,018 | 0,026 | 0,043 | 0,061 | 0,069 | 0,072 | 0,061 |
| WC | 0,322 | 0,170 | 0,018 | 0,023 | 0,063 | 0,110 | 0,175 | 0,239 | 0,305 | 0,379 | 0,394 | 0,334 | 0,353 |
| WD | 0,121 | 0,089 | 0,013 | 0,013 | 0,025 | 0,033 | 0,053 | 0,075 | 0,082 | 0,091 | 0,101 | 0,137 | 0,161 |
| inne | 0,031 | 0,050 | 0,045 | 0,020 | 0,018 | 0,016 | 0,014 | 0,012 | 0,008 | 0,007 | 0,012 | 0,020 | 0,011 |
| rębne | | | | | | | | | | | | | |
| S2 | 0,334 | 0,290 | 0,571 | 0,721 | 0,706 | 0,644 | 0,526 | 0,446 | 0,363 | 0,318 | 0,300 | 0,289 | 0,295 |
| S4 | 0,115 | 0,139 | 0,082 | 0,047 | 0,042 | 0,048 | 0,067 | 0,095 | 0,069 | 0,064 | 0,068 | 0,095 | 0,091 |
| WB | 0,047 | 0,044 | 0,016 | 0,005 | 0,006 | 0,010 | 0,024 | 0,047 | 0,071 | 0,087 | 0,087 | 0,087 | 0,067 |
| WC | 0,222 | 0,173 | 0,110 | 0,075 | 0,127 | 0,174 | 0,247 | 0,273 | 0,403 | 0,439 | 0,431 | 0,369 | 0,364 |
| WD | 0,054 | 0,058 | 0,067 | 0,060 | 0,075 | 0,085 | 0,097 | 0,100 | 0,062 | 0,056 | 0,073 | 0,107 | 0,142 |
| inne | 0,228 | 0,297 | 0,154 | 0,092 | 0,043 | 0,040 | 0,037 | 0,039 | 0,031 | 0,036 | 0,041 | 0,054 | 0,042 |

4.3. Dane do oszacowania zmian przychodów z tytułu zmian w wielkości i strukturze pozyskanego drewna

Ze względu na brak aktualnych informacji dotyczących cen drewna z DGLP na potrzeby analizy przyjęto szacunkowe ceny grup sortymentów: S2 – 159 zł/m³, S4 – 114 zł/m³, WB – 286 zł/m³, WC – 248 zł/m³, WD – 149 zł/m³ oraz inne – 175 zł/m³.

4.4. Dane do oszacowania ilości wiązania węgla w biomase nadziemnej

W związku z ograniczonym czasem na wykonanie analiz ilość węgla obliczono w sposób uproszczony w oparciu o wskaźniki wykorzystywane przez IPCC (2006) na potrzeby LULUCF. Wskaźniki odniesiono do rzeczywistej struktury gatunkowej drzewostanów w ramach przyjętych scenariuszy i wariantów prognoz. Ilość zakumulowanego węgla w biomase naziemnej obliczono korzystając ze wzoru:

$$C = V * BCEF * (1 + R) * CF$$

Tabela 6 Wskaźnik domyślny R (Root to shoot) AFOLU

| Gatunek | wg ton suchej masy [t / ha] | | | | |
|---------|-----------------------------|---------|---------|----------|------|
| | <50 | <50-70> | <70-75> | <75-150> | 150< |
| Sosna | 0,40 | 0,29 | 0,29 | 0,29 | 0,20 |
| Świerk | 0,40 | 0,29 | 0,29 | 0,29 | 0,20 |
| Jodła | 0,40 | 0,29 | 0,29 | 0,29 | 0,20 |
| Buk | 0,46 | 0,46 | 0,46 | 0,23 | 0,24 |
| Dąb | 0,30 | 0,30 | 0,30 | 0,23 | 0,24 |
| Grab | 0,46 | 0,46 | 0,46 | 0,23 | 0,24 |
| Brzoza | 0,46 | 0,46 | 0,46 | 0,23 | 0,24 |
| Olsza | 0,46 | 0,46 | 0,46 | 0,23 | 0,24 |
| Topola | 0,46 | 0,46 | 0,46 | 0,23 | 0,24 |
| Osika | 0,46 | 0,46 | 0,46 | 0,23 | 0,24 |

Tabela 7 Wskaźnik domyślny BCEF (Biomass Conversion and Expansion Factor) (AFOLU)

| Gatunek | wg miąższości [m ³ / ha] | | | | |
|---------|--------------------------------------|-------|--------|---------|------|
| | <20 | 20-40 | 41-100 | 100-200 | >200 |
| Sosna | 1,8 | 1,0 | 0,75 | 0,70 | 0,7 |
| Świerk | 3,0 | 1,4 | 1,0 | 0,75 | 0,7 |
| Jodła | 3,0 | 1,4 | 1,0 | 0,75 | 0,7 |
| Buk | 3,0 | 1,7 | 1,4 | 1,05 | 0,8 |
| Dąb | 3,0 | 1,7 | 1,4 | 1,05 | 0,8 |
| Grab | 3,0 | 1,7 | 1,4 | 1,05 | 0,8 |
| Brzoza | 3,0 | 1,7 | 1,4 | 1,05 | 0,8 |
| Olsza | 3,0 | 1,7 | 1,4 | 1,05 | 0,8 |
| Topola | 3,0 | 1,7 | 1,4 | 1,05 | 0,8 |
| Osika | 3,0 | 1,7 | 1,4 | 1,05 | 0,8 |

Tabela 8 Wskaźnik domyślny CF (Carbon Fraction) AFOLU

| Gatunek | Sosna | Świerk | Jodła | Buk | Dąb | Grab | Brzoza | Olsza | Topola | Osika |
|----------|-------|--------|-------|------|------|------|--------|-------|--------|-------|
| wskaznik | 0,42 | 0,40 | 0,40 | 0,58 | 0,58 | 0,58 | 0,51 | 0,45 | 0,35 | 0,35 |

5 WYNIKI

5.1 Prognoza rozwoju zasobów leśnych oraz możliwości użytkowania głównego według przyjętych scenariuszy

Prognoza rozwoju zasobów leśnych oraz możliwości użytkowania głównego według przyjętych scenariuszy przygotowano dla następujących scenariuszy:

Scenariusz „0” (porównawczy) – odnoszący się do obszaru lasów o powierzchni 7 013 855 ha przeznaczonych do prowadzenia wielofunkcyjnej gospodarka leśnej (Tabela 9).

Scenariusz „1” (przedstawiony łącznie w tabeli 10) – odnoszący się do sumy obszarów lasów o powierzchni 4 292 851 ha przeznaczonych do prowadzenia gospodarki leśnej (Tabela 11) oraz lasów o powierzchni 2 721 005 ha przeznaczonych do ochrony ścisłej (Tabela 12).

Scenariusz „2” (przedstawiony w tabeli 13) – odnoszący się do sumy obszarów lasów o powierzchni 4 312 981 ha przeznaczonych do prowadzenia gospodarki leśnej (Tabela 14) oraz lasów o powierzchni 2 700 874 ha przeznaczonych do ochrony ścisłej (Tabela 15).

Scenariusz „3” (przedstawiony w tabeli 16) – odnoszący się do sumy obszarów lasów o powierzchni 4 305 137 ha przeznaczonych do prowadzenia gospodarki leśnej (Tabela 17) oraz lasów o powierzchni 2 708 724 ha przeznaczonych do ochrony ścisłej (Tabela 18).

Podsumowanie prognoz rozwoju zasobów leśnych oraz możliwości użytkowania głównego według przyjętych scenariuszy przedstawiono w tabeli zbiorczej (Tabela 19).

Tabela 9. Scenariusz – wariant „0” – Syntetyczne wyniki prognozy rozwoju zasobów leśnych oraz możliwości użytkowania głównego (na początek danego okresu prognozy)

| Okres prognozy | Powierzchnia [ha] | Średni wiek [lata] | Miąższość m ³ grubizny | Zasobność [m ³ /ha] | Miąższość użytkowania głównego tys. m ³ grubizny brutto/netto | | | Bieżący przyrost miąższości [tys. m ³ grub. brutto]/[m ³ grub. brutto/ha/rok] | Intensywność użytkowania w % przyrostu |
|----------------|-------------------|--------------------|-----------------------------------|--------------------------------|--|------------|---------|---|--|
| | | | | | rębne | przedrębne | razem | | |
| 1 | 2 | 3 | 4 | 5 | 6 | 7 | 8 | 9 | 10 |
| 2020 | 7 013 855 | 63,2 | 1 872 788,2 | 267 | 249 317 | 216 222 | 465 538 | 632 405,0 9,02 | 74% |
| - | | | | | 209 426 | 172 977 | 372 431 | | |
| 2029 | | | | | 56% | 46% | 103% | | |
| 2030 | 7 013 855 | 63,9 | 2 039 654,7 | 291 | 286 912 | 224 566 | 511 478 | 629 002,2 8,97 | 81% |
| - | | | | | 241 006 | 179 653 | 420 659 | | |
| 2039 | | | | | 57% | 43% | 100% | | |
| 2040 | 7 013 855 | 64,0 | 2 157 178,8 | 308 | 323 096 | 228 300 | 551 396 | 629 977,8 8,98 | 88% |
| - | | | | | 271 401 | 182 640 | 454 040 | | |
| 2049 | | | | | 60% | 40% | 100% | | |

Tabela 10 Scenariusz „1” – Syntetyczne wyniki prognozy rozwoju zasobów leśnych oraz możliwości użytkowania głównego (na początek danego okresu prognozy)

| Okres prognozy | Powierzchnia [ha] | Średni wiek [lata] | Miąższość [tys.m ³ grubizny] | Zasobność [m ³ /ha] | Miąższość użytkowania głównego tys. m ³ grubizny brutto/netto | | | Bieżący przyrost miąższości [tys. m ³ grub. brutto]/[m ³ grub. brutto/ha/rok] | Intensywność użytkowania w % przyrostu |
|----------------|-------------------|--------------------|---|--------------------------------|--|------------|-----------|---|--|
| | | | | | rębne | przedrębne | razem | | |
| <i>1</i> | <i>2</i> | <i>3</i> | <i>4</i> | <i>5</i> | <i>6</i> | <i>7</i> | <i>8</i> | <i>9</i> | <i>10</i> |
| 2020 | 7 013 856 | 63,2 | 1 872 788,2 | 267 | 11 585,6 | 169 730,7 | 181 316,3 | 628 590,8 | 29% |
| - | | | | | 9 731,9 | 135 784,6 | 145 516,5 | 8,96 | |
| 2029 | | | | | 6,7 | 93,3 | 100,0 | | |
| 2030 | 7 013 856 | 72,1 | 2 320 062,6 | 331 | 21 660,2 | 194 373,0 | 216 033,2 | 625 544,2 | 35% |
| - | | | | | 18 194,6 | 155 498,4 | 173 693,0 | 8,92 | |
| 2039 | | | | | 10,5 | 89,5 | 100,0 | | |
| 2040 | 7 013 856 | 80,6 | 2 729 573,7 | 389 | 25 971,6 | 220 738,1 | 246 709,8 | 613 487,7 | 40% |
| - | | | | | 21 816 | 176 590 | 198 407 | 8,8 | |
| 2049 | | | | | 11% | 89% | 100% | | |

Tabela 11 Wariant „1A” – Syntetyczne wyniki prognozy rozwoju zasobów leśnych oraz możliwości użytkowania głównego (na początek danego okresu prognozy)

| Okres prognozy | Powierzchnia [ha] | Średni wiek [lata] | Miąższość [tys.m ³ grubizny] | Zasobność [m ³ /ha] | Miąższość użytkowania głównego tys. m ³ grubizny brutto/netto | | | Bieżący przyrost miąższości [tys. m ³ grub. brutto]/[m ³ grub. brutto/ha/rok] | Intensywność użytkowania w % przyrostu |
|----------------|-------------------|--------------------|---|--------------------------------|--|------------|-----------|---|--|
| | | | | | rębne | przedrębne | razem | | |
| <i>1</i> | <i>2</i> | <i>3</i> | <i>4</i> | <i>5</i> | <i>6</i> | <i>7</i> | <i>8</i> | <i>9</i> | <i>10</i> |
| 2020 | 4 292 851 | 41,2 | 911 542,5 | 212 | 11 585,6 | 169 730,7 | 181 316,3 | 376 662,8 | 48% |
| - | | | | | 9 731,9 | 135 784,6 | 145 516,5 | 8,77 | |
| 2029 | | | | | 7% | 93% | 100% | | |
| 2030 | 4 292 851 | 50,8 | 1 106 889,0 | 258 | 21 660,2 | 194 373,0 | 216 033,2 | 373 541,7 | 58% |
| - | | | | | 18 194,6 | 155 498,4 | 173 693,0 | 8,70 | |
| 2039 | | | | | 10% | 90% | 100% | | |
| 2040 | 4 292 851 | 60,2 | 1 264 397,5 | 295 | 25 971,6 | 220 738,1 | 246 709,8 | 368 915,5 | 67% |
| - | | | | | 21 816,2 | 176 590,5 | 198 406,7 | 8,59 | |
| 2049 | | | | | 11% | 89% | 100% | | |

Tabela 12 Wariant „1B” – Syntetyczne wyniki prognozy rozwoju zasobów leśnych oraz możliwości użytkowania głównego (na początek danego okresu prognozy)

| Okres prognozy | Powierzchnia [ha] | Średni wiek [lata] | Miąższość [tys.m ³ grubizny] | Zasobność [m ³ /ha] | Miąższość użytkowania głównego tys. m ³ grubizny brutto/netto | | | Bieżący przyrost miąższości [tys. m ³ grub. brutto]/[m ³ grub. brutto/ha/rok] | Intensywność użytkowania w % przyrostu |
|----------------|-------------------|--------------------|---|--------------------------------|--|------------|----------|---|--|
| | | | | | rębne | przedrębne | razem | | |
| <i>1</i> | <i>2</i> | <i>3</i> | <i>4</i> | <i>5</i> | <i>6</i> | <i>7</i> | <i>8</i> | <i>9</i> | <i>10</i> |
| 2020 | 2 721 005 | 98,0 | 961 245,6 | 353,3 | 0 | 0 | 0 | 251 928,0 | 0% |
| - | | | | | 0 | 0 | 0 | 9,3 | |
| 2029 | | | | | 0 | 0 | 0 | | |
| 2030 | 2 721 005 | 105,6 | 1 213 173,4 | 445,9 | 0 | 0 | 0 | 252 002,5 | 0% |
| - | | | | | 0 | 0 | 0 | 9,3 | |
| 2039 | | | | | 0 | 0 | 0 | | |
| 2040 | 2 721 005 | 112,9 | 1 465 176,1 | 538,5 | 0 | 0 | 0 | 244 572,3 | 0% |
| - | | | | | 0 | 0 | 0 | 9,0 | |
| 2049 | | | | | 0 | 0 | 0 | | |

Tabela 13 Scenariusz „2” – Syntetyczne wyniki prognozy rozwoju zasobów leśnych oraz możliwości użytkowania głównego (na początek danego okresu prognozy)

| Okres prognozy | Powierzchnia [ha] | Średni wiek [lata] | Miąższość [tys.m ³ grubizny] | Zasobność [m ³ /ha] | Miąższość użytkowania głównego tys. m ³ grubizny brutto/netto | | | Bieżący przyrost miąższości [tys. m ³ grub. brutto]/[m ³ grub. brutto/ha/rok] | Intensywność użytkowania w % przyrostu |
|----------------|-------------------|--------------------|---|--------------------------------|--|------------|-----------|---|--|
| | | | | | rębne | przedrębne | razem | | |
| <i>I</i> | <i>2</i> | <i>3</i> | <i>4</i> | <i>5</i> | <i>6</i> | <i>7</i> | <i>8</i> | <i>9</i> | <i>10</i> |
| 2020 | 7 013 855 | 63,2 | 1 872 788,2 | 267 | 151 552,1 | 136 018,0 | 287 570,1 | 629 176,3 | 46% |
| - | | | | | 127 303,8 | 108 814,4 | 236 118,2 | 8,97 | |
| 2029 | | | | | 53,9 | 46,1 | 100,0 | | |
| 2030 | 7 013 855 | 67,2 | 2 214 394,4 | 316 | 175 897,6 | 140 702,7 | 316 600,3 | 627 283,7 | 50% |
| - | | | | | 147 753,9 | 112 562,2 | 260 316,1 | 8,89 | |
| 2039 | | | | | 56,8 | 43,2 | 100,0 | | |
| 2040 | 7 013 855 | 70,4 | 2 525 077,8 | 360 | 198 048,8 | 142 412,3 | 340 461,1 | 624 498,0 | 55% |
| - | | | | | 166 361,0 | 113 929,9 | 280 290,8 | 8,90 | |
| 2049 | | | | | 59,4 | 40,6 | 100,0 | | |

Tabela 14 Wariant „2A” – Syntetyczne wyniki prognozy rozwoju zasobów leśnych oraz możliwości użytkowania głównego (na początek danego okresu prognozy)

| Okres prognozy | Powierzchnia [ha] | Średni wiek [lata] | Miąższość [tys.m ³ grubizny] | Zasobność [m ³ /ha] | Miąższość użytkowania głównego tys. m ³ grubizny brutto/netto | | | Bieżący przyrost miąższości [tys. m ³ grub. brutto]/[m ³ grub. brutto/ha/rok] | Intensywność użytkowania w % przyrostu |
|-------------------|-------------------|--------------------|---|--------------------------------|--|------------|-----------|---|--|
| | | | | | rębne | przedrębne | razem | | |
| <i>1</i> | <i>2</i> | <i>3</i> | <i>4</i> | <i>5</i> | <i>6</i> | <i>7</i> | <i>8</i> | <i>9</i> | <i>10</i> |
| 2020 - 2029 | 4312981 | 60,7 | 1124168,0 | 261 | 151 552,1 | 136 018,0 | 287 570,1 | 377 731,2 8,76 | 76% |
| | | | | | 127 303,8 | 108 814,4 | 236118,2 | | |
| | | | | | 54% | 46% | 100% | | |
| 2030 - 2039 | 4312981 | 61,8 | 1214329,1 | 282 | 175 897,6 | 140 702,7 | 316 600,3 | 377 295,1 8,75 | 84% |
| | | | | | 147 753,9 | 112 562,2 | 260316,1 | | |
| | | | | | 57% | 43% | 100% | | |
| 2040 - 2049 | 4 312 981 | 61,8 | 1 275 023,1 | 296 | 198 048,8 | 142 412,3 | 340 461,1 | 375 268,7 8,70 | 91% |
| | | | | | 166 361,0 | 113 929,9 | 280 290,8 | | |
| | | | | | 59% | 41% | 100% | | |

Tabela 15 Wariant „2B” – Syntetyczne wyniki prognozy rozwoju zasobów leśnych oraz możliwości użytkowania głównego (na początek danego okresu prognozy)

| Okres prognozy | Powierzchnia [ha] | Średni wiek [lata] | Miąższość [tys.m ³ grubizny] | Zasobność [m ³ /ha] | Miąższość użytkowania głównego tys. m ³ grubizny brutto/netto | | | Bieżący przyrost miąższości [tys. m ³ grub. brutto]/[m ³ grub. brutto/ha/rok] | Intensywność użytkowania w % miąższości/przyrostu |
|----------------|-------------------|--------------------|---|--------------------------------|--|------------|----------|---|---|
| | | | | | rębne | przedrębne | razem | | |
| <i>1</i> | <i>2</i> | <i>3</i> | <i>4</i> | <i>5</i> | <i>6</i> | <i>7</i> | <i>8</i> | <i>9</i> | <i>10</i> |
| 2020 | 2 700 874,00 | 67,23 | 748 620,1 | 277 | 0 | 0 | 0 | 251 445,1 | 0% |
| - | | | | | 0 | 0 | 0 | 9,31 | |
| 2029 | | | | | 0 | 0 | 0 | | |
| 2030 | 2 700 874,00 | 75,78 | 1 000 065,3 | 370 | 0 | 0 | 0 | 249 988,6 | 0% |
| - | | | | | 0 | 0 | 0 | 9,26 | |
| 2039 | | | | | 0 | 0 | 0 | | |
| 2040 | 2 700 874,00 | 84,14 | 1 250 053,9 | 462 | 0 | 0 | 0 | 249 229,3 | 0% |
| - | | | | | 0 | 0 | 0 | 9,23 | |
| 2049 | | | | | 0 | 0 | 0 | | |

Tabela 16 Scenariusz „3” – Syntetyczne wyniki prognozy rozwoju zasobów leśnych oraz możliwości użytkowania głównego (na początek danego okresu prognozy)

| Okres prognozy | Powierzchnia [ha] | Średni wiek [lata] | Miąższość [tys.m ³ grubizny] | Zasobność [m ³ /ha] | Miąższość użytkowania głównego tys. m ³ grubizny brutto/netto | | | Bieżący przyrost miąższości [tys. m ³ grub. brutto]/[m ³ grub. brutto/ha/rok] | Intensywność użytkowania w % przyrostu |
|----------------|-------------------|--------------------|---|--------------------------------|--|------------|-----------|---|--|
| | | | | | rębne | przedrębne | razem | | |
| <i>I</i> | <i>2</i> | <i>3</i> | <i>4</i> | <i>5</i> | <i>6</i> | <i>7</i> | <i>8</i> | <i>9</i> | <i>10</i> |
| 2020 | 7 013 861 | 63,2 | 1 872 788,2 | 267 | 88 141,1 | 149 940,2 | 238 081,3 | 630 787,8 | 38% |
| - | | | | | 74 038,5 | 119 952,2 | 193 990,7 | 8,99 | |
| 2029 | | | | | 38,2 | 61,8 | 100,0 | | |
| 2030 | 7 013 861 | 68,5 | 2 265 494,7 | 323 | 91 428,6 | 163 062,2 | 254 490,8 | 630 925,4 | 40% |
| - | | | | | 76 800,0 | 130 449,7 | 207 249,8 | 9,00 | |
| 2039 | | | | | 37,1 | 62,9 | 100,0 | | |
| 2040 | 7 013 861 | 74,9 | 2 641 929,4 | 377 | 114 021,2 | 173 366,0 | 287 387,2 | 627 630,3 | 46% |
| - | | | | | 95 777,8 | 138 692,8 | 234 470,6 | 8,95 | |
| 2049 | | | | | 40,8 | 59,2 | 100,0 | | |

Tabela 17 Wariant „3A” – Syntetyczne wyniki prognozy rozwoju zasobów leśnych oraz możliwości użytkowania głównego (na początek danego okresu prognozy)

| Okres prognozy | Powierzchnia [ha] | Średni wiek [lata] | Miaższość [tys.m ³ grubizny] | Zasobność [m ³ /ha] | Miaższość użytkowania głównego tys. m ³ grubizny brutto/netto | | | Bieżący przyrost miaższości [tys. m ³ grub. brutto]/[m ³ grub. brutto/ha/rok] | Intensywność użytkowania w % przyrostu |
|----------------|-------------------|--------------------|---|--------------------------------|--|------------|----------|---|--|
| | | | | | rębne | przedrębne | razem | | |
| <i>1</i> | <i>2</i> | <i>3</i> | <i>4</i> | <i>5</i> | <i>6</i> | <i>7</i> | <i>8</i> | <i>9</i> | <i>10</i> |
| 2020 | 4305137 | 51,3 | 994605,396 | 231 | 88141,1 | 149940,2 | 238081,3 | 373101,4 | 64% |
| - | | | | | 74038,5 | 119952,2 | 193990,7 | 8,67 | |
| 2029 | | | | | 38% | 62% | 100% | | |
| 2030 | 4305137 | 54,2 | 1129625,495 | 262 | 91428,6 | 163062,2 | 254490,8 | 372282,4 | 68% |
| - | | | | | 76800,0 | 130449,7 | 207249,8 | 8,65 | |
| 2039 | | | | | 37% | 63% | 100% | | |
| 2040 | 4305137 | 59,5 | 1247417,152 | 290 | 114021,2 | 173366,0 | 287387,2 | 369048,6 | 78% |
| - | | | | | 95777,8 | 138692,8 | 234470,6 | 8,57 | |
| 2049 | | | | | 41% | 59% | 100% | | |

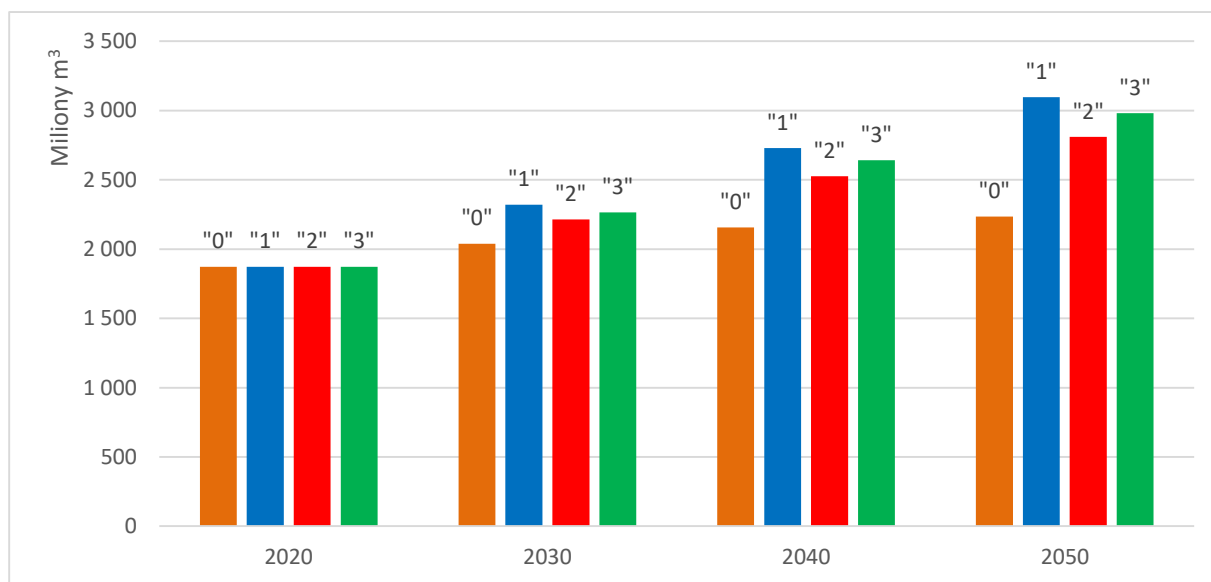
Tabela 18 Wariant „3B” – Syntetyczne wyniki prognozy rozwoju zasobów leśnych oraz możliwości użytkowania głównego (na początek danego okresu prognozy)

| Okres prognozy | Powierzchnia [ha] | Średni wiek [lata] | Miaższość [tys.m ³ grubizny] | Zasobność [m ³ /ha] | Miaższość użytkowania głównego tys. m ³ grubizny brutto/netto | | | Bieżący przyrost miaższości [tys. m ³ grub. brutto]/[m ³ grub. brutto/ha/rok] | Intensywność użytkowania w % miaższości/przyrostu |
|----------------|-------------------|--------------------|---|--------------------------------|--|------------|----------|---|---|
| | | | | | rębne | przedrębne | razem | | |
| <i>1</i> | <i>2</i> | <i>3</i> | <i>4</i> | <i>5</i> | <i>6</i> | <i>7</i> | <i>8</i> | <i>9</i> | <i>10</i> |
| 2020 | 2 708 724 | 82,12 | 878 182,8 | 324,2 | 0 | 0 | 0 | 257 686,4 | 0% |
| - | | | | | 0 | 0 | 0 | 9,51 | |
| 2029 | | | | | 0 | 0 | 0 | | |
| 2030 | 2 708 724 | 91,18 | 1 135 869 ,2 | 419,3 | 0 | 0 | 0 | 258 643,0 | 0% |
| - | | | | | 0 | 0 | 0 | 9,55 | |
| 2039 | | | | | 0 | 0 | 0 | | |
| 2040 | 2 708 724 | 99,50 | 1 394 512,2 | 514,8 | 0 | 0 | 0 | 258 581,6 | 0% |
| - | | | | | 0 | 0 | 0 | 9,55 | |
| 2049 | | | | | 0 | 0 | 0 | | |

Tabela 19 Zestawienie wybranych elementów prognozy rozwoju zasobów drzewnych oraz możliwości użytkowania głównego według okresów prognozy oraz przyjętych scenariuszy prowadzenia gospodarki leśnej

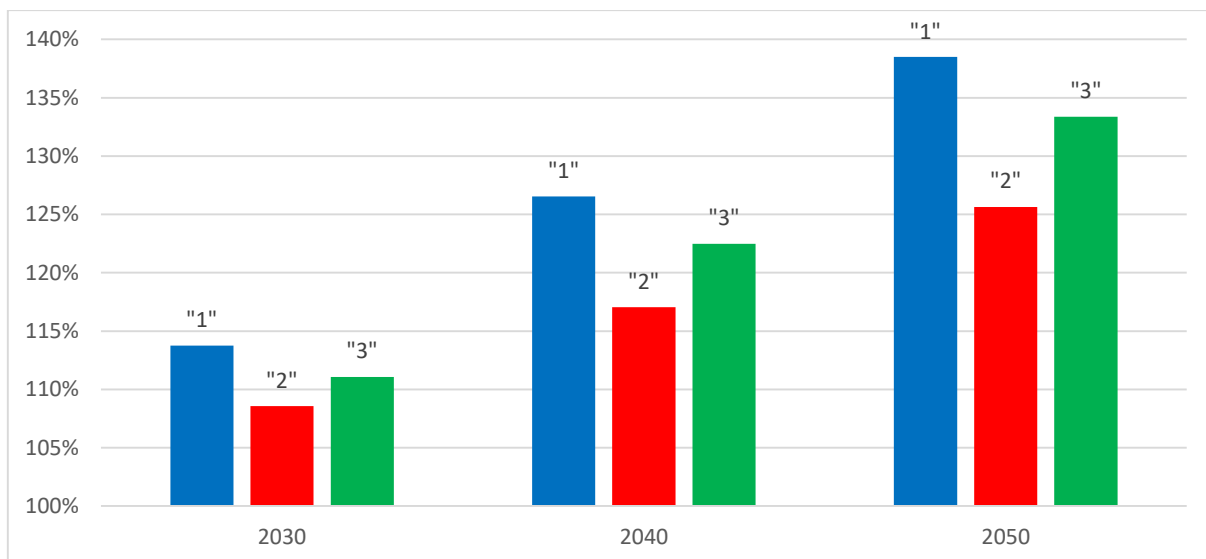
| Okres prognozy | Scenariusz | Powierzchnia [ha] | Średni wiek [lata] | Miąższość grubizny [tys. m ³] | Zasobność [m ³ /ha] | Możliwości użytkowania głównego brutto [tys. m ³ /10 lat] | | | Bieżący przyrost miąższości [tys. m ³ grub. brutto] | Intensywność użytkowania [% przyrostu] |
|----------------|------------|-------------------|--------------------|---|--------------------------------|--|------------|-----------|--|--|
| | | | | | | rębne | przedrębne | razem | | |
| <i>1</i> | <i>2</i> | <i>3</i> | <i>4</i> | <i>5</i> | <i>6</i> | <i>7</i> | <i>8</i> | <i>9</i> | <i>10</i> | <i>11</i> |
| 2020–2029 | "0" | 7 013 855 | 63,2 | 1 872 788,2 | 267 | 249 316,7 | 216 221,8 | 465 538,5 | 632 405,0 | 74% |
| | "1" | 7 013 856 | 63,2 | 1 872 788,2 | 267 | 11 585,6 | 169 730,7 | 181 316,3 | 628 590,8 | 29% |
| | "2" | 7 013 855 | 63,2 | 1 872 788,2 | 267 | 151 552,1 | 136 018,0 | 287 570,1 | 629 176,3 | 46% |
| | "3" | 7 013 861 | 63,2 | 1 872 788,2 | 267 | 88 141,1 | 149 940,2 | 238 081,3 | 630 787,8 | 38% |
| 2030–2039 | "0" | 7 013 855 | 63,9 | 2 039 654,7 | 291 | 286 911,6 | 224 566,4 | 511 478,0 | 629 002,2 | 81% |
| | "1" | 7 013 856 | 72,1 | 2 320 062,6 | 331 | 21 660,2 | 194 373,0 | 216 033,2 | 625 544,2 | 35% |
| | "2" | 7 013 855 | 67,2 | 2 214 394,4 | 316 | 175 897,6 | 140 702,7 | 316 600,3 | 627 283,7 | 50% |
| | "3" | 7 013 861 | 68,5 | 2 265 494,7 | 323 | 91 428,6 | 163 062,2 | 254 490,8 | 630 925,4 | 40% |
| 2040–2049 | "0" | 7 013 855 | 64,0 | 2 157 178,8 | 308 | 323 095,9 | 228 299,8 | 551 395,7 | 629 977,8 | 88% |
| | "1" | 7 013 856 | 80,6 | 2 729 573,7 | 389 | 25 971,6 | 220 738,1 | 246 709,8 | 613 487,7 | 40% |
| | "2" | 7 013 855 | 70,4 | 2 525 077,8 | 360 | 198 048,8 | 142 412,3 | 340 461,1 | 624 498,0 | 55% |
| | "3" | 7 013 861 | 74,9 | 2 641 929,4 | 377 | 114 021,2 | 173 366,0 | 287 387,2 | 627 630,3 | 46% |

Jedną z podstawowych cech opisujących zasoby leśne jest stan zapasu. Prognozowana zmiana zapasu w wyniku realizacji przyjętych scenariuszy przedstawiono na rycinie (Rysunek 1). W przyjętym do analizy trzydziestoletnim okresie prognozy we wszystkich wariantach prognoz zasoby drzewne będą wzrastały, chociaż w różnym tempie.



Rysunek 1 Prognozowane zmiany zapasu [m³] w wariantach prognozy

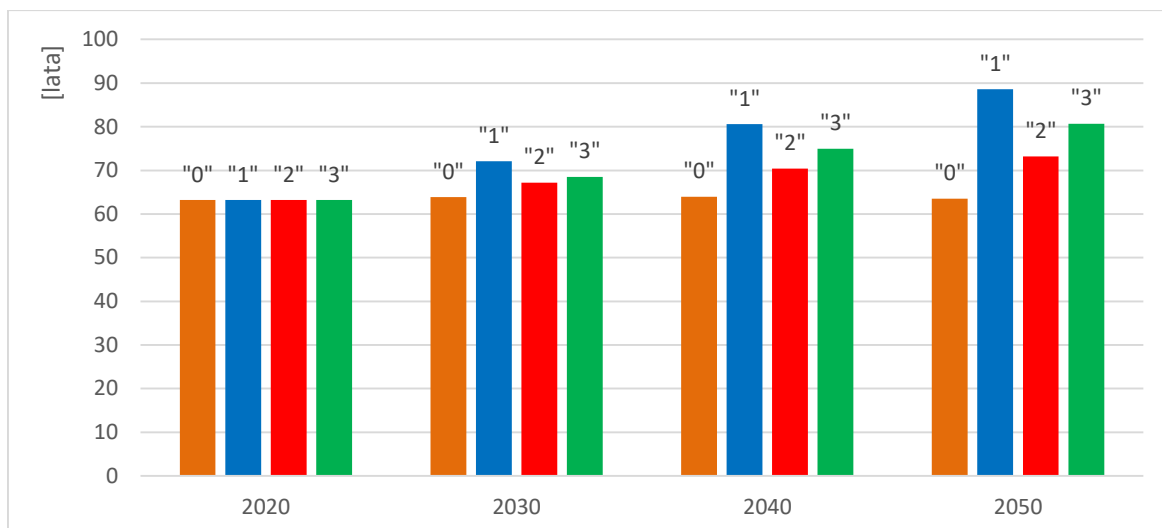
We wszystkich analizowanych scenariuszach, włącznie z realizowanym obecnie scenariuszu porównawczym, zapas będzie wzrastał. Najmniejszy prognozowany wzrost zasobów w wielkości około 284 tys. m³ odnotowano w scenariuszu porównawczym. Pozostałe scenariusze wskazują na większy wzrost zasobów, od 652 tys. m³ w scenariuszu „2” do 857 tys. m³ w scenariuszu „1”. Odpowiada to zwiększeniu zasobów w odcieniu do scenariusza bazowego o 8% w pierwszym okresie w scenariuszu „2” do 38% w trzecim okresie w scenariuszu „1”(Rysunek 2).



Rysunek 2 Udział procentowy zmiany zapasu w odniesieniu do scenariusza „0”

Kolejną cechą opisującą zasoby leśne jest średni wiek drzewostanów (tu wyliczony dla wszystkich gruntów leśnych poza związanymi z gospodarką leśną) (Tabela 9 – Tabela 18). W wariancie „0” średni wiek drzewostanów utrzymywał się będzie na podobnym poziomie czyli około 64 lat, podobna sytuacja prognozowana jest w wariancie „2A” – tu średni wiek utrzymywał się będzie na poziomie około 62 lat. Średni wiek w wariancie „1A” wzroście prawie o 20 lat. W wariancie „3A” średni wiek będzie oscylował około 59 lat. W drzewostanach pozostawionych bez użytkowania średni wiek drzewostanów będzie sukcesywnie wzrastał (tu dokładniejszej analizy wymaga metodyka liczenia średniego wieku, zwłaszcza w kontekście drzewostanów w których nie jest prowadzona gospodarka leśna od dłuższego czasu).

Przyjęte scenariusze skutkowały będą wzrostem średniego wieku drzewostanów. Największy wzrost średniego wieku spodziewany jest w scenariuszu „1” zaś najmniejszy w scenariuszu „0” i „2” (Rysunek 3).



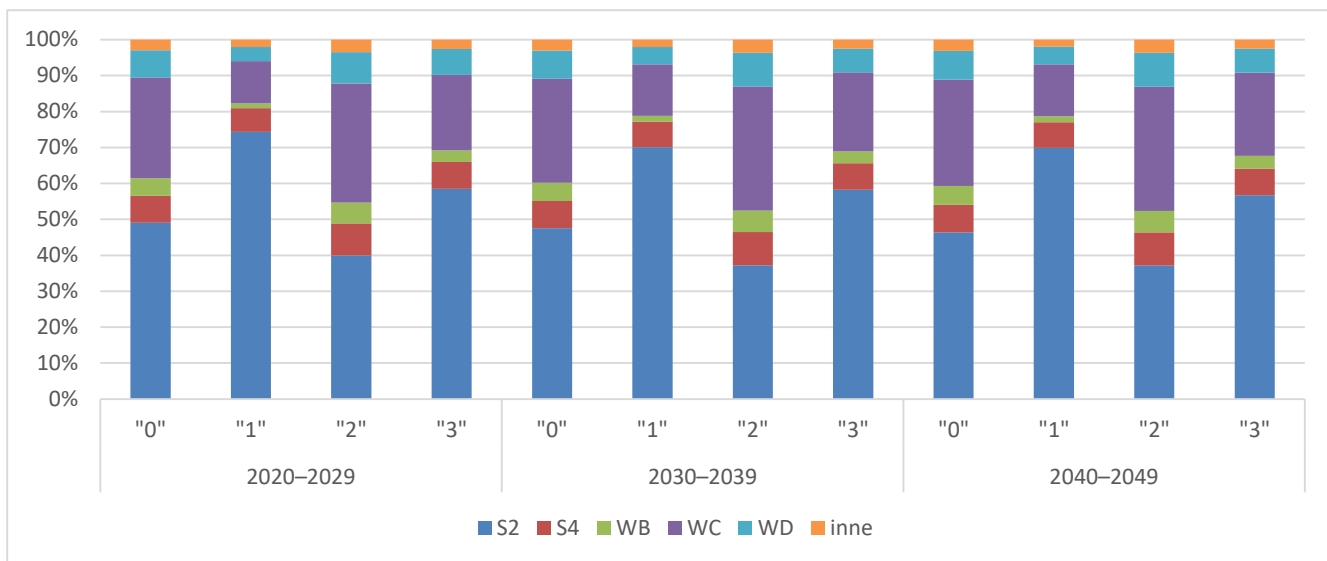
Rysunek 3 Prognozowany średni wiek [lata] w scenariuszach prognozy na początku okresu prognozy

5.2 Prognoza struktury sortymentowej pozyskanego drewna

Konsekwencją przyjętych scenariuszy i ich wariantów jest nie tylko zmiana stanu zasobów drzewnych, ale także rozmiaru i struktury planowanego do pozyskania drewna w ujęciu głównych grup sortymentowych (Tabela 20, Rysunek 4). W scenariuszu „1” i „3” zwiększy się udział drewna średniowymiarowego S2 w porównaniu ze scenariuszem „0”. Z kolei scenariusz „2” będzie się charakteryzował większym udziałem drewna WC.

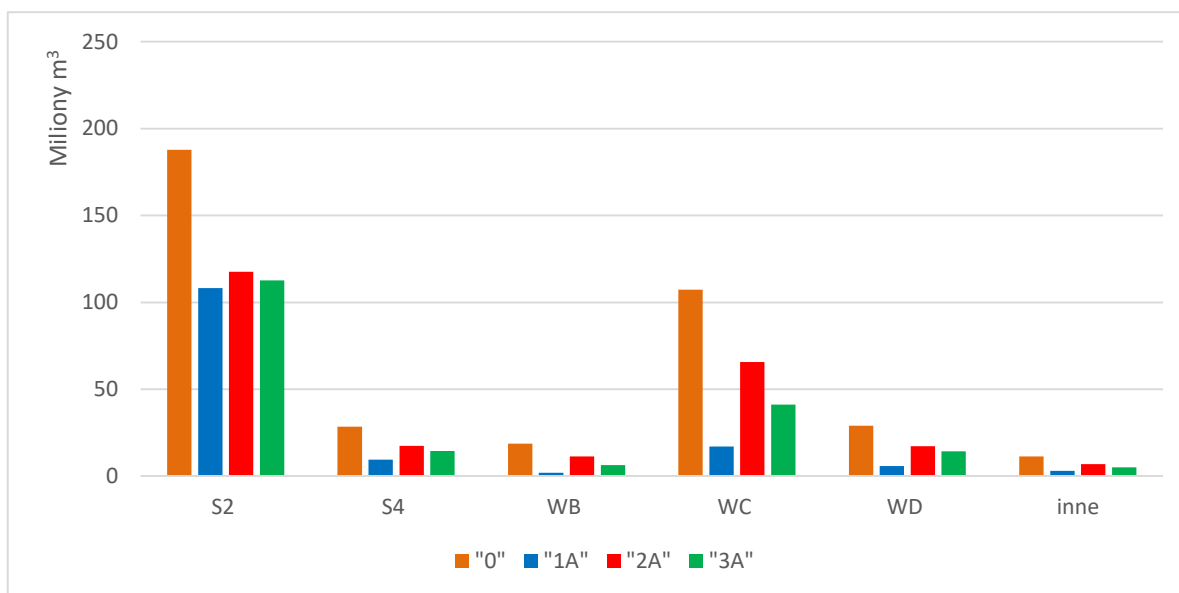
Tabela 20 Zestawienie wybranych elementów prognozy struktury sortymentowej pozyskanego drewna według okresów prognozy oraz przyjętych scenariuszy prowadzenia gospodarki leśnej

| Okres prognozy | Scenariusz | Sortymenty (grupy sortymentów) [tys. m ³ /10 lat] | | | | | | Razem |
|----------------|------------|--|----------|----------|----------|----------|----------|----------|
| | | S2 | S4 | WB | WC | WD | inne | |
| <i>1</i> | <i>2</i> | <i>3</i> | <i>4</i> | <i>5</i> | <i>6</i> | <i>7</i> | <i>8</i> | <i>9</i> |
| 2020–2029 | "0" | 187 726 | 28 512 | 18 649 | 107 339 | 28 932 | 11 245 | 382 403 |
| | "1" | 108 204 | 9 569 | 1 946 | 17 053 | 5 787 | 2 958 | 145 516 |
| | "2" | 95 315 | 21 226 | 13 702 | 79 026 | 20 842 | 8 330 | 238 441 |
| | "3" | 139 308 | 17 766 | 7 691 | 49 891 | 17 171 | 6 254 | 238 081 |
| 2030–2039 | "0" | 199 891 | 31 991 | 21 217 | 121 666 | 33 215 | 12 679 | 420 659 |
| | "1" | 121 756 | 12 253 | 2 892 | 24 923 | 8 385 | 3 484 | 173 693 |
| | "2" | 96 610 | 23 982 | 15 546 | 89 715 | 24 455 | 9 416 | 259 724 |
| | "3" | 148 168 | 18 837 | 8 421 | 55 951 | 16 828 | 6 286 | 254 491 |
| 2040–2049 | "0" | 210 683 | 34 791 | 23 678 | 134 353 | 36 543 | 13 993 | 454 040 |
| | "1" | 138 737 | 13 992 | 3 376 | 28 742 | 9 650 | 3 911 | 198 407 |
| | "2" | 97 108 | 24 176 | 15 674 | 90 331 | 24 663 | 9 481 | 261 434 |
| | "3" | 162 900 | 21 274 | 10 243 | 66 502 | 19 248 | 7 220 | 287 387 |

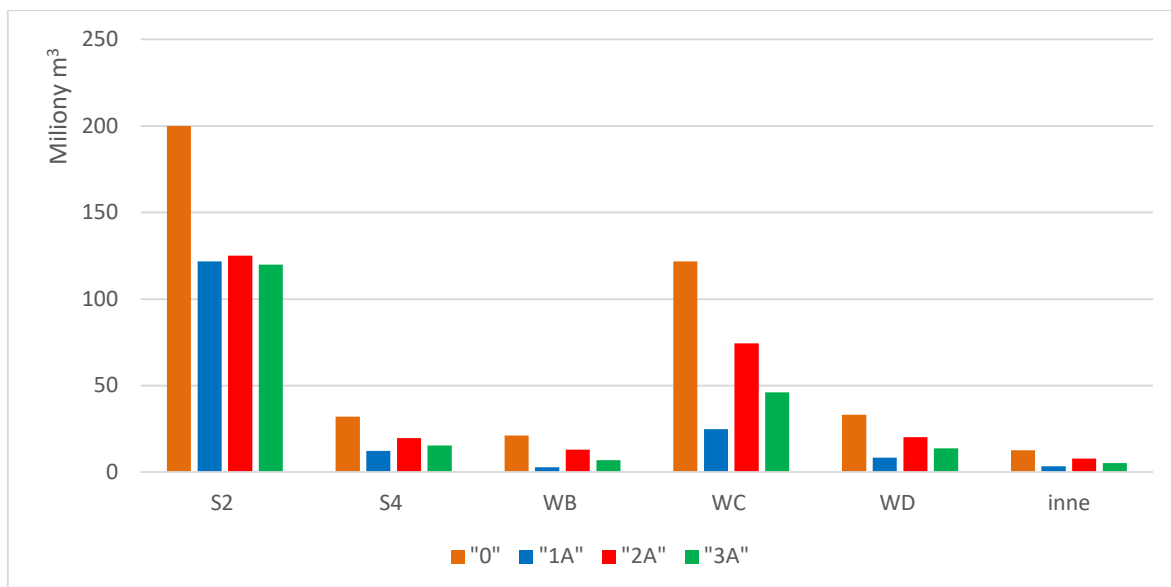


Rysunek 4 Procentowa struktura sortymentowa

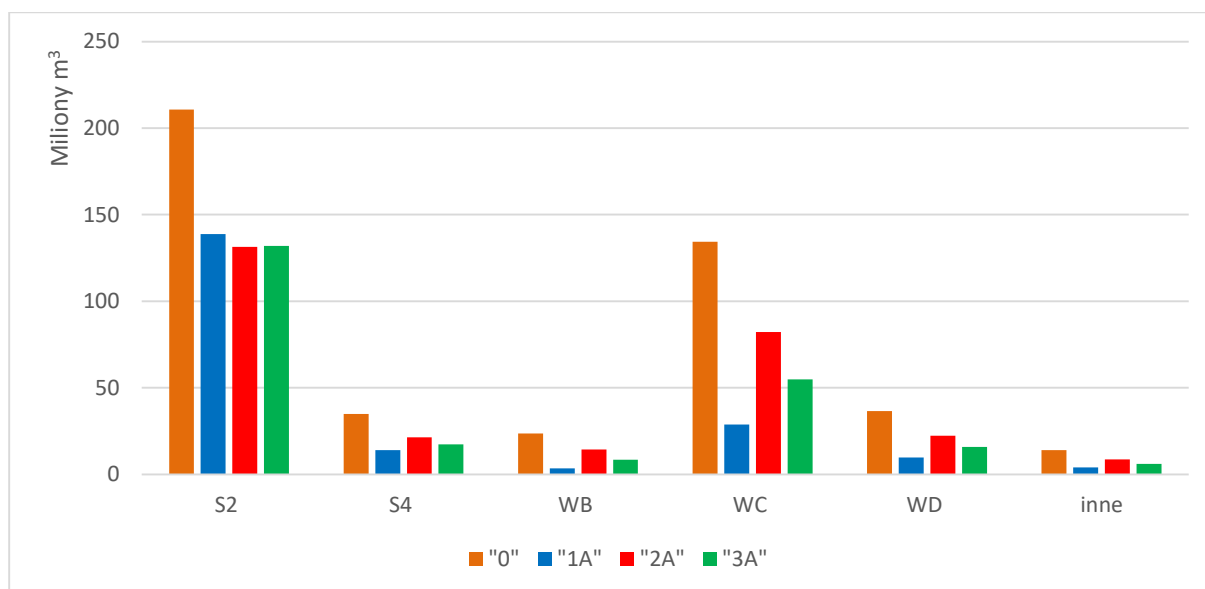
W kolejnych okresach prognozy w związku z wyłączeniem znacznej powierzchni drzewostanów z użytkowania zmieni się ilość oraz struktura sortymentowa drewna dostępnego do pozyskania (Rysunek 5, Rysunek 6, Rysunek 7). Znacząco zmniejszy się ilość sortymentów średniowymiarowych oraz drewna wielkowymiarowego WC.



Rysunek 5 Prognozowana struktura sortymentowa w latach 2020-2029

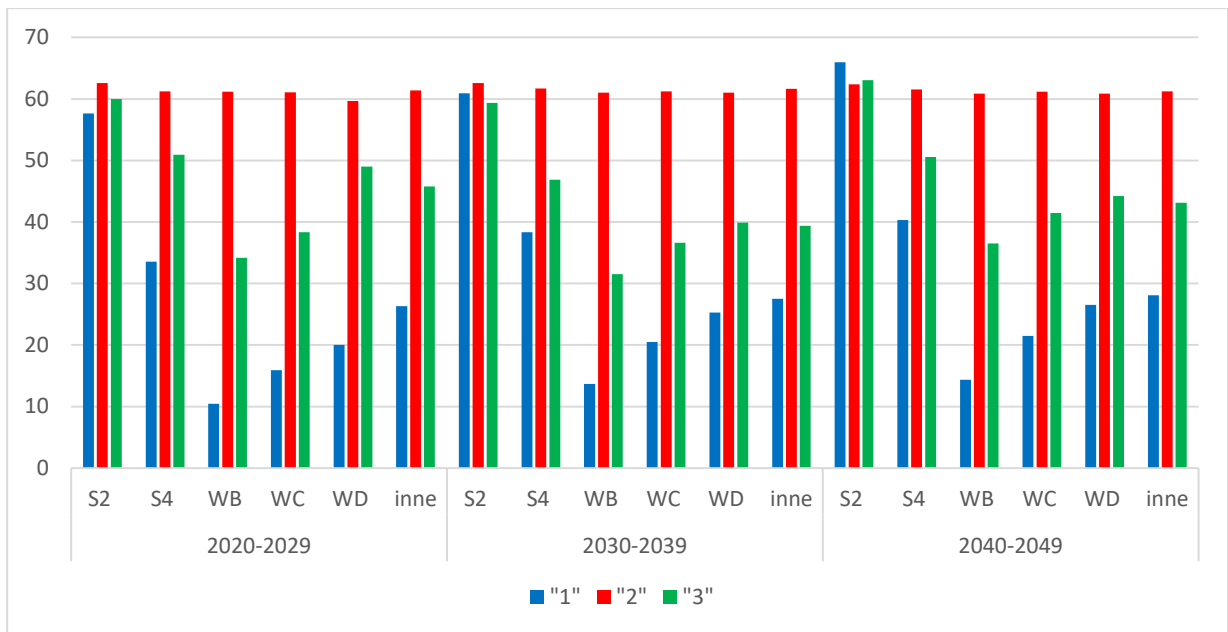


Rysunek 6 Prognozowana struktura sortymentowa w latach 2030-2039



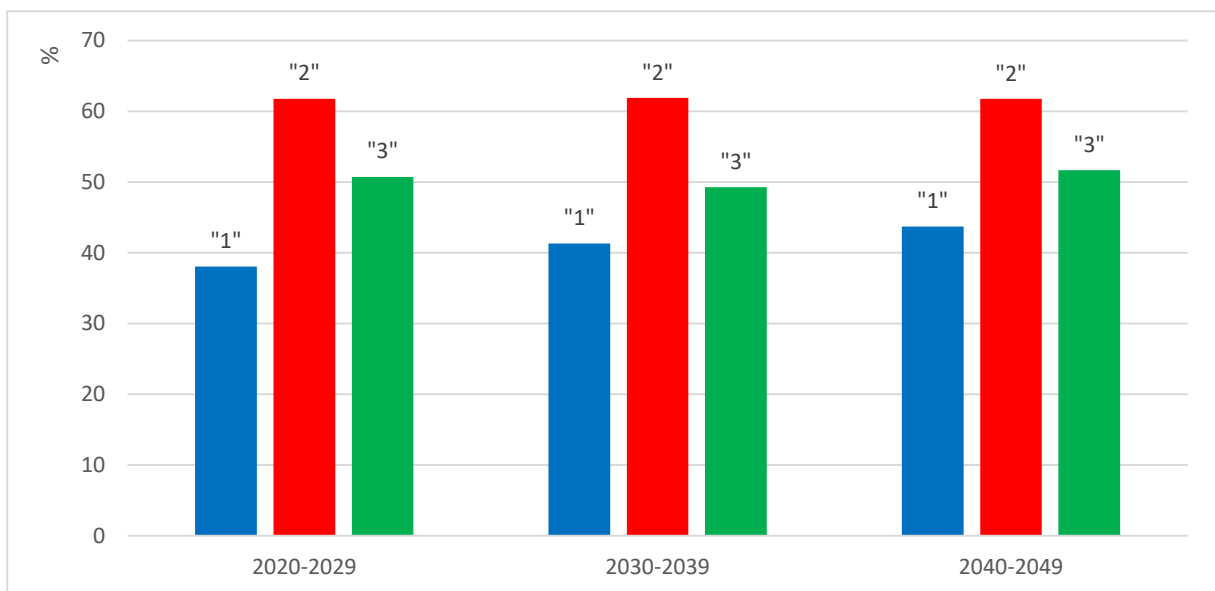
Rysunek 7 Prognozowana struktura sortymentowa w latach 2040-2049

Zmiany udziału pozyskanych sortymentów w poszczególnych wariantach w odniesieniu do obecnie prowadzonego wariantu gospodarki leśnej „0” są zróżnicowane w zależności od modyfikacji wyłączenia drzewostanów – wariantu (Rysunek 8). Największe ograniczenia w udziale pozyskanych sortymentów występują w wariantcie „1”, a najmniejsze w wariantcie „2”.



Rysunek 8 Zmniejszenie udziału poszczególnych grup sortymentów scenariusza „1”, „2”, „3” w odniesieniu do „0”

Reasumując scenariusze alternatywne wskazują na znaczne ograniczenie pozyskania drewna (Rysunek 9). Scenariusz „1” zakłada pozyskanie drewna rzędu 36-41% planowanego pozyskania w ramach scenariusza „0”. Mniejsze ograniczenia nakładają scenariusze „2” i „3”, w nich pozyskanie ograniczone jest około 40% – 50% w stosunku do scenariusza bazowego.



Rysunek 9 Udział procentowy planowanego pozyskania w odniesieniu do scenariusza „0”

5.3 Prognoza utraconych przychodów

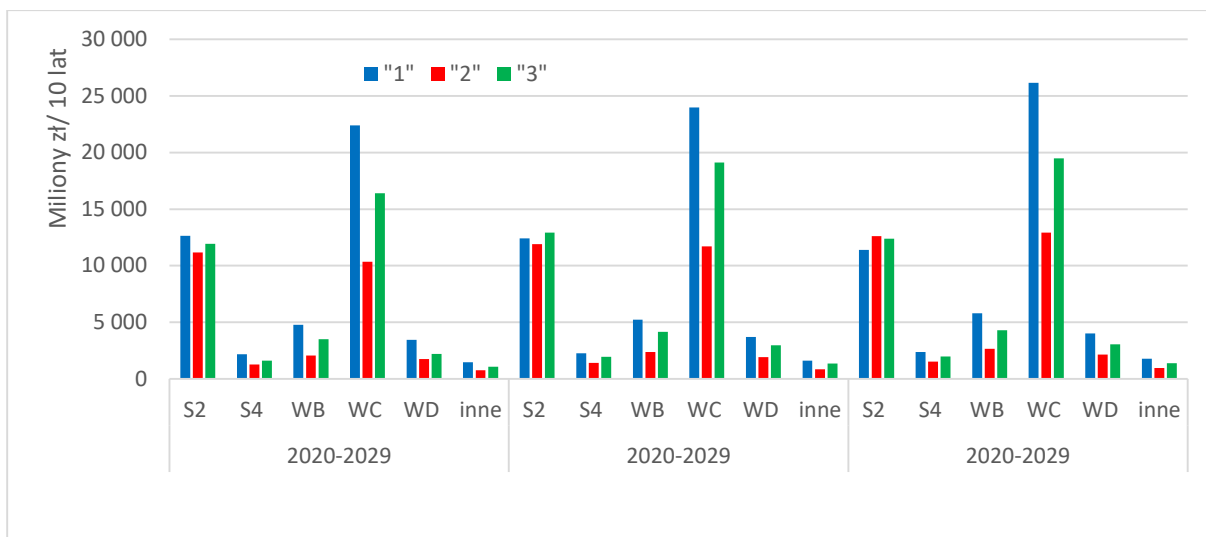
Zmiana podejścia do prowadzenia gospodarki leśnej, a szczególnie wyłączenie znacznych powierzchni drzewostanów z gospodarki leśnej pociągało będzie za sobą istotne konsekwencje ekonomiczne (Tabela 21, Tabela 22, Rysunek 10). Przyjęte scenariusze i ich warianty wprowadzają znaczne ograniczenia w ilości pozyskiwanego drewna najpopularniejszych sortymentów czyli S2 oraz WC i to brak dostępności tych sortymentów spowoduje znaczące straty ekonomiczne.

Tabela 21 Zestawienie wybranych elementów prognozy niepozyskanego drewna według okresów prognozy, sortymentów oraz przyjętych scenariuszy prowadzenia gospodarki leśnej

| Okres prognozy | Scenariusz | Niepozyskane drewno [tys. m ³ /10 lat] | | | | | | Razem |
|----------------|------------|---|----------|----------|-----------|----------|----------|-----------|
| | | Sortymenty (grupy sortymentów) | | | | | | |
| | | S2 | S4 | WB | WC | WD | inne | |
| 1 | 2 | 3 | 4 | 5 | 6 | 7 | 8 | 9 |
| 2020–2029 | "1" | 79 522,5 | 18 943,4 | 16 702,5 | 90 286,3 | 23 145,3 | 8 287,0 | 236 887,0 |
| | "2" | 92 411,4 | 7 285,9 | 4 947,1 | 28 313,0 | 8 090,5 | 2 914,4 | 143 962,3 |
| | "3" | 48 418,2 | 10 746,3 | 10 957,6 | 57 447,9 | 11 761,2 | 4 991,0 | 144 322,2 |
| 2030–2039 | "1" | 78 134,9 | 19 737,8 | 18 324,9 | 96 742,5 | 24 830,4 | 9 195,3 | 246 965,9 |
| | "2" | 103 280,7 | 8 009,2 | 5 670,7 | 31 951,4 | 8 760,1 | 3 262,6 | 160 934,6 |
| | "3" | 51 722,2 | 13 154,7 | 12 795,4 | 65 714,8 | 16 387,8 | 6 393,2 | 166 168,1 |
| 2040–2049 | "1" | 71 946,3 | 20 799,2 | 20 301,3 | 105 611,4 | 26 893,1 | 10 082,5 | 255 633,7 |
| | "2" | 113 574,8 | 10 614,7 | 8 003,1 | 44 021,7 | 11 879,6 | 4 512,6 | 192 606,6 |
| | "3" | 47 783,3 | 13 517,1 | 13 434,2 | 67 851,4 | 17 294,4 | 6 772,8 | 166 653,3 |

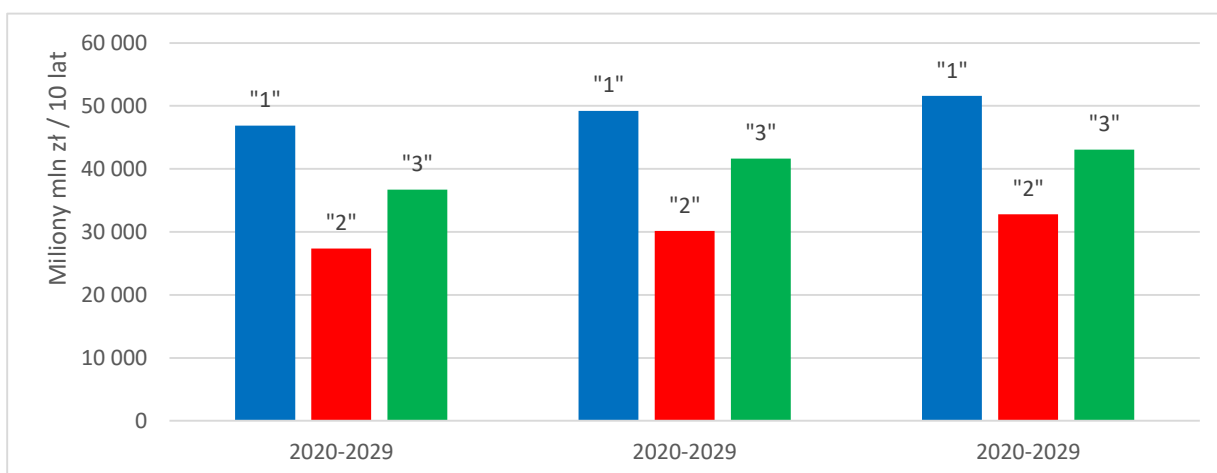
Tabela 22 Zestawienie wybranych elementów prognozy utraconych przychodów według okresów prognozy, sortymentów oraz przyjętych scenariuszy prowadzenia gospodarki leśnej

| Okres prognozy | Scenariusz | Wartość utraconych przychodów [mln zł/10 lat] | | | | | | Razem |
|----------------|------------|---|----------|----------|-----------|----------|----------|-----------|
| | | Sortymenty (grupy sortymentów) | | | | | | |
| | | S2 | S4 | WB | WC | WD | inne | |
| 1 | 2 | 3 | 4 | 5 | 6 | 7 | 8 | 9 |
| 2020–2029 | "1" | 12 644,08 | 2 159,55 | 4 776,90 | 22 390,99 | 3 448,66 | 1 450,22 | 46 870,40 |
| | "2" | 14 693,42 | 830,59 | 1 414,86 | 7 021,62 | 1 205,48 | 510,03 | 25 676,00 |
| | "3" | 7 698,50 | 1 225,08 | 3 133,89 | 14 247,08 | 1 752,41 | 873,42 | 28 930,37 |
| 2030–2039 | "1" | 12 423,45 | 2 250,11 | 5 240,92 | 23 992,14 | 3 699,74 | 1 609,18 | 49 215,55 |
| | "2" | 16 421,63 | 913,05 | 1 621,81 | 7 923,94 | 1 305,26 | 570,95 | 28 756,64 |
| | "3" | 8 223,83 | 1 499,63 | 3 659,49 | 16 297,28 | 2 441,79 | 1 118,80 | 33 240,82 |
| 2040–2049 | "1" | 11 439,46 | 2 371,11 | 5 806,16 | 26 191,64 | 4 007,07 | 1 764,43 | 51 579,87 |
| | "2" | 18 058,40 | 1 210,08 | 2 288,89 | 10 917,38 | 1 770,07 | 789,70 | 35 034,51 |
| | "3" | 7 597,54 | 1 540,95 | 3 842,18 | 16 827,16 | 2 576,87 | 1 185,24 | 33 569,94 |

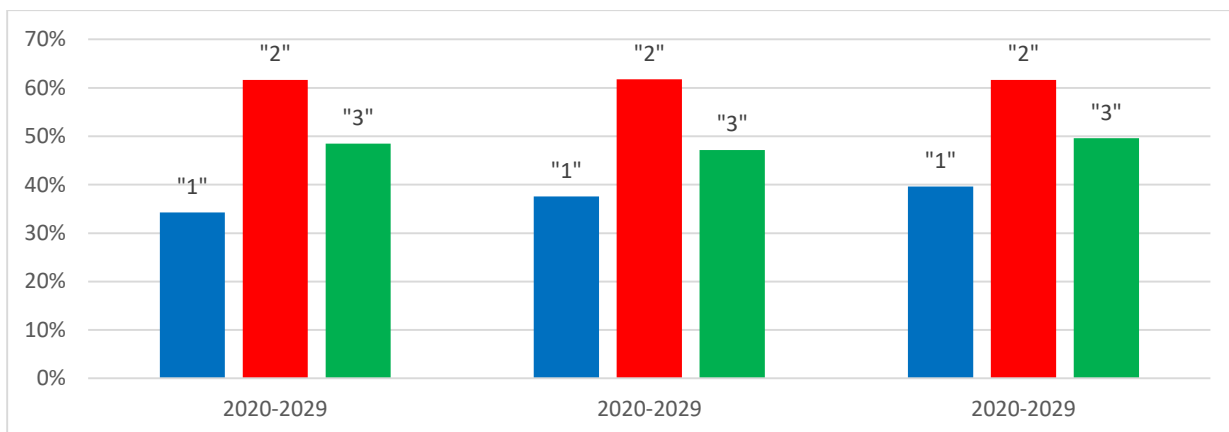


Rysunek 10 Szacunkowe utracone przychody wynikające ze zmiany prowadzenia gospodarki leśnej

Utracone przychody z tytułu braku drewna do sprzedania w zależności od scenariusza wyłączenia drzewostanów z gospodarki leśnej wynosiłyby od 2,6 do 4,8 mld zł rocznie (Tabela 22, Rysunek 11). Przyjęcie wskazanych scenariuszy umożliwi uzyskanie przez PGLLP z tytułu sprzedaży drewna od około 34% do 62% (Rysunek 12) przychodów scenariusza „0”, przy jednoczesnej potrzebie ponoszenia dodatkowych kosztów wynikających konieczności dbałości o lasy wyłączone z użytkowania. Należy jednak zauważyć, że zmniejszenie rozmiaru pozyskania drewna pociągnie za sobą zmniejszenie kosztów z tytułu pozyskania drewna jak również m.in. kosztów prac hodowlanych (ze względu na znaczne ograniczenie powierzchni i zakresu wykonywania takich prac), zatrudniania pracowników (mniejszy zakres prac wymaga mniejszej obsługi ze strony pracowników nadleśnictw oraz zakładów usług leśnych) co może przełożyć się niekorzystnie na stan gospodarki szczególnie w ujęciu lokalnym.



Rysunek 11 Szacowane utracone przychody z tytułu sprzedaży drewna w odniesieniu do scenariusza „0”



Rysunek 12 Procentowe szacowane przychody z tytułu sprzedaży drewna w odniesieniu do scenariusza „0”

5.4 Prognoza ilości biomasy

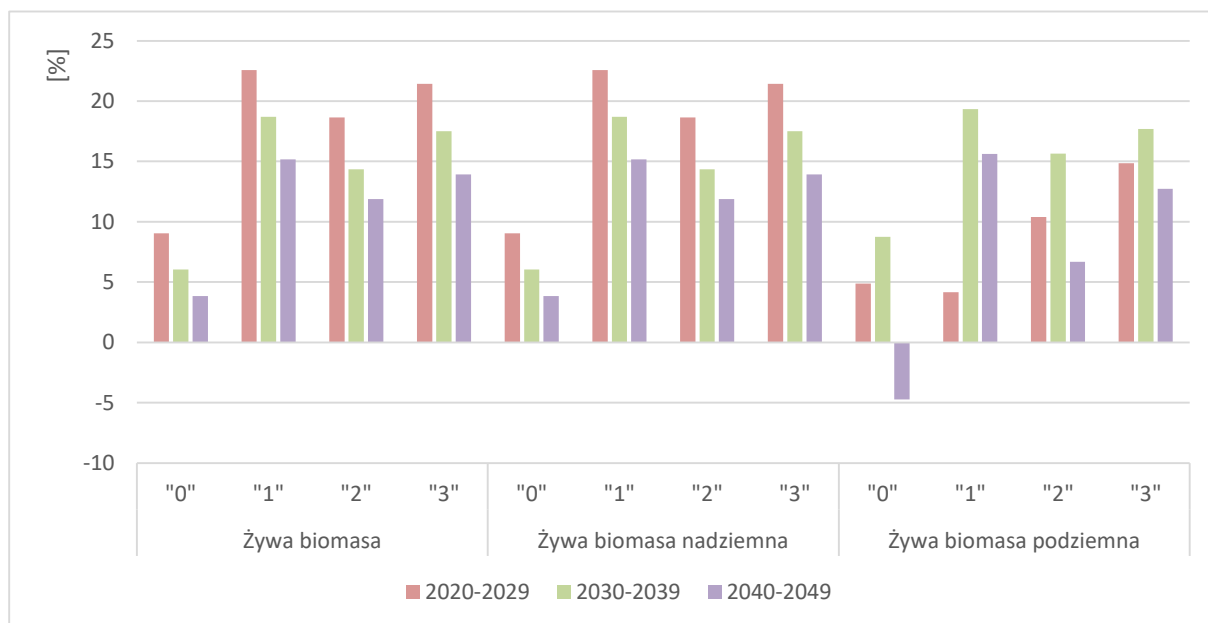
W Unijnej Strategii na rzecz bioróżnorodności zwraca się uwagę na biomasę, stąd też wyliczono zasoby biomasy oraz ich zmianę w podziale na biomasę żywą ogółem, nadziemną oraz podziemną (Tabela 23, Tabela 24, Rysunek 13).

Tabela 23 Zasoby żywej biomasy

| Zasoby biomasy ogółem [mln m ³] | | | | | | | | | | | | |
|---|---------|---------|---------|---------|------------------------|---------|---------|---------|------------------------|-------|-------|-------|
| Żywa biomasa | | | | | Żywa biomasa nadziemna | | | | Żywa biomasa podziemna | | | |
| | 2020 | 2030 | 2040 | 2050 | 2020 | 2030 | 2040 | 2050 | 2020 | 2030 | 2040 | 2050 |
| "0" | 1 845,6 | 1 996,9 | 2 128,0 | 2 173,7 | 1 474,0 | 1 607,2 | 1 704,2 | 1 769,9 | 371,6 | 389,7 | 423,8 | 403,7 |
| "1" | 1 888,8 | 2 241,9 | 2 663,7 | 3 070,1 | 1 491,8 | 1 828,4 | 2 170,2 | 2 499,5 | 397,0 | 413,5 | 493,5 | 570,6 |
| "2" | 1 845,5 | 2 159,2 | 2 474,2 | 2 743,4 | 1 474,0 | 1 749,0 | 1 999,9 | 2 237,3 | 371,5 | 410,1 | 474,4 | 506,1 |
| "3" | 1 845,5 | 2 216,7 | 2 605,4 | 2 962,0 | 1 474,0 | 1 790,0 | 2 103,2 | 2 395,8 | 371,6 | 426,7 | 502,2 | 566,2 |
| Zasoby biomasy ogółem [m ³ /ha] | | | | | | | | | | | | |
| Żywa biomasa | | | | | Żywa biomasa nadziemna | | | | Żywa biomasa podziemna | | | |
| | 2020 | 2030 | 2040 | 2050 | 2020 | 2030 | 2040 | 2050 | 2020 | 2030 | 2040 | 2050 |
| "0" | 263,1 | 284,7 | 290,6 | 309,9 | 210,2 | 229,2 | 232,7 | 252,3 | 53,0 | 55,6 | 57,9 | 57,6 |
| "1" | 269,3 | 319,6 | 379,8 | 437,7 | 212,7 | 260,7 | 309,4 | 356,4 | 56,6 | 59,0 | 70,4 | 81,4 |
| "2" | 263,1 | 307,8 | 352,8 | 391,1 | 210,2 | 249,4 | 285,1 | 319,0 | 53,0 | 58,5 | 67,6 | 72,2 |
| "3" | 263,1 | 316,0 | 371,5 | 422,3 | 210,2 | 255,2 | 299,9 | 341,6 | 53,0 | 60,8 | 71,6 | 80,7 |

Tabela 24 Zmiana zasobów żywej biomasy

| Zmiana zasobów biomasy ogółem [mln t/10 lat] | | | | | | | | | |
|--|-----------|-----------|------------------------|-----------|-----------|------------------------|-----------|-----------|-----------|
| Żywa biomasa | | | Żywa biomasa nadziemna | | | Żywa biomasa podziemna | | | |
| | 2020-2029 | 2030-2039 | 2040-2049 | 2020-2029 | 2030-2039 | 2040-2049 | 2020-2029 | 2030-2039 | 2040-2049 |
| "0" | 151 | 131 | 46 | 133 | 97 | 66 | 18 | 34 | -20 |
| "1" | 353 | 422 | 406 | 337 | 342 | 329 | 17 | 80 | 77 |
| "2" | 314 | 315 | 269 | 275 | 251 | 237 | 39 | 64 | 32 |
| "3" | 371 | 389 | 357 | 316 | 313 | 293 | 55 | 75 | 64 |
| Zmiana zasobów biomasy ogółem [t/ha/10 lat] | | | | | | | | | |
| Żywa biomasa | | | Żywa biomasa nadziemna | | | Żywa biomasa podziemna | | | |
| | 2020-2029 | 2030-2039 | 2040-2049 | 2020-2029 | 2030-2039 | 2040-2049 | 2020-2029 | 2030-2039 | 2040-2049 |
| "0" | 21,6 | 18,7 | 6,5 | 19,0 | 13,8 | 9,4 | 2,6 | 4,9 | -2,9 |
| "1" | 50,4 | 60,1 | 57,9 | 48,0 | 48,7 | 46,9 | 2,4 | 11,4 | 11,0 |
| "2" | 44,7 | 44,9 | 38,4 | 39,2 | 35,8 | 33,9 | 5,5 | 9,2 | 4,5 |
| "3" | 52,9 | 55,4 | 50,8 | 45,1 | 44,7 | 41,7 | 7,9 | 10,8 | 9,1 |
| Procent zmiany zasobów biomasy ogółem [%] | | | | | | | | | |
| Żywa biomasa | | | Żywa biomasa nadziemna | | | Żywa biomasa podziemna | | | |
| | 2020-2029 | 2030-2039 | 2040-2049 | 2020-2029 | 2030-2039 | 2040-2049 | 2020-2029 | 2030-2039 | 2040-2049 |
| "0" | 8,2 | 6,6 | 2,1 | 9,0 | 6,0 | 3,9 | 4,9 | 8,7 | -4,7 |
| "1" | 18,7 | 18,8 | 15,3 | 22,6 | 18,7 | 15,2 | 4,2 | 19,3 | 15,6 |
| "2" | 17,0 | 14,6 | 10,9 | 18,7 | 14,3 | 11,9 | 10,4 | 15,7 | 6,7 |
| "3" | 20,1 | 17,5 | 13,7 | 21,4 | 17,5 | 13,9 | 14,9 | 17,7 | 12,7 |



Rysunek 13 Procent zmiany zasobów biomasy [%] w kolejnych okresach prognozy

Analizując ilość biomasy żywej ogółem, nadziemnej oraz podziemnej zaobserwować można, iż we każdym z przyjętych scenariuszy więcej biomasy zostanie zakumulowane w przypadku realizacji każdego ze scenariuszy alternatywnych.

5.5 Prognoza zasobów zakumulowanego węgla w żywej biomacie

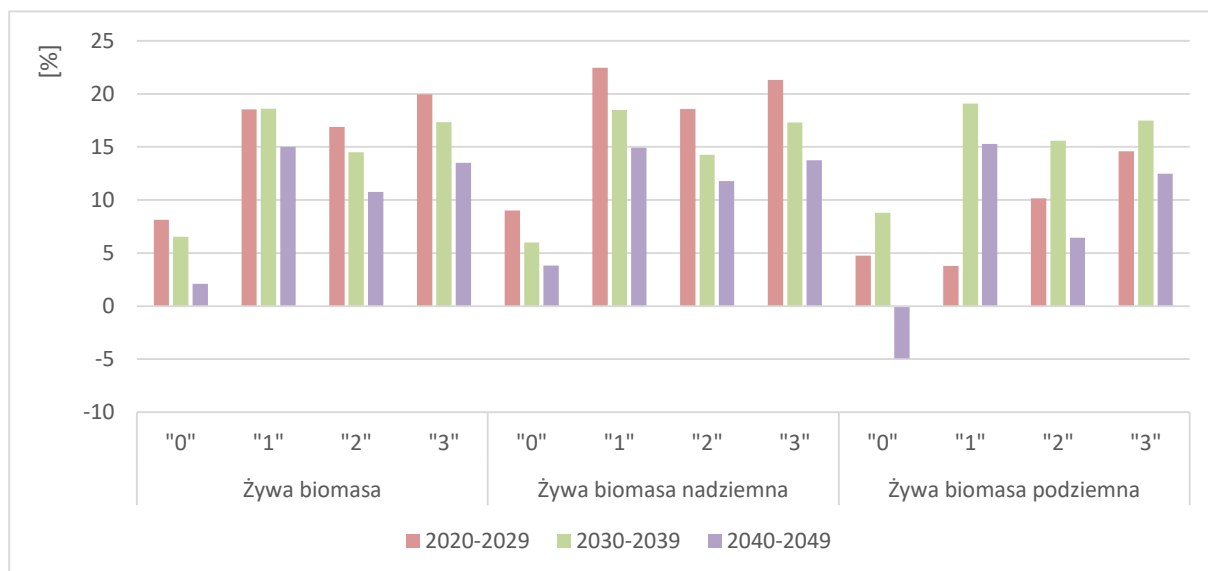
Kolejnym ważnym aspektem jest ilość zakumulowanego węgla w żywej biomacie ogółem, nadziemnej oraz podziemnej, a także zasobów zakumulowanego węgla w żywej biomacie nadziemnej (Tabela 22, Tabela 23, Rysunek 14)

Tabela 25 Zasoby zakumulowanego węgla w żywej biomacie

| Zasoby węgla ogółem [mln t] | | | | | | | | | | | | |
|-----------------------------|--------------|---------|---------|---------|------------------------|-------|---------|---------|------------------------|-------|-------|-------|
| | Żywa biomasa | | | | Żywa biomasa nadziemna | | | | Żywa biomasa podziemna | | | |
| | 2020 | 2030 | 2040 | 2050 | 2020 | 2030 | 2040 | 2050 | 2020 | 2030 | 2040 | 2050 |
| "0" | 924,9 | 1 000,3 | 1 065,8 | 1 088,0 | 738,9 | 805,4 | 853,7 | 886,4 | 186,1 | 194,9 | 212,0 | 201,6 |
| "1" | 946,6 | 1 122,2 | 1 330,8 | 1 530,4 | 747,7 | 915,8 | 1 085,0 | 1 247,0 | 198,9 | 206,4 | 245,8 | 283,5 |
| "2" | 924,9 | 1 081,0 | 1 237,9 | 1 371,0 | 738,8 | 876,1 | 1 001,0 | 1 118,8 | 186,0 | 204,9 | 236,9 | 252,2 |
| "3" | 924,9 | 1 109,5 | 1 302,0 | 1 477,8 | 738,8 | 896,3 | 1 051,5 | 1 196,0 | 186,1 | 213,2 | 250,5 | 281,7 |
| Zasoby węgla ogółem [t/ha] | | | | | | | | | | | | |
| | Żywa biomasa | | | | Żywa biomasa nadziemna | | | | Żywa biomasa podziemna | | | |
| | 2020 | 2030 | 2040 | 2050 | 2020 | 2030 | 2040 | 2050 | 2020 | 2030 | 2040 | 2050 |
| "0" | 131,9 | 142,6 | 145,5 | 155,1 | 105,3 | 114,8 | 116,6 | 126,4 | 26,5 | 27,8 | 28,9 | 28,7 |
| "1" | 135,0 | 160,0 | 189,7 | 218,2 | 106,6 | 130,6 | 154,7 | 177,8 | 28,4 | 29,4 | 35,1 | 40,4 |
| "2" | 131,9 | 154,1 | 176,5 | 195,5 | 105,3 | 124,9 | 142,7 | 159,5 | 26,5 | 29,2 | 33,8 | 36,0 |
| "3" | 131,9 | 158,2 | 185,6 | 210,7 | 105,3 | 127,8 | 149,9 | 170,5 | 26,5 | 30,4 | 35,7 | 40,2 |

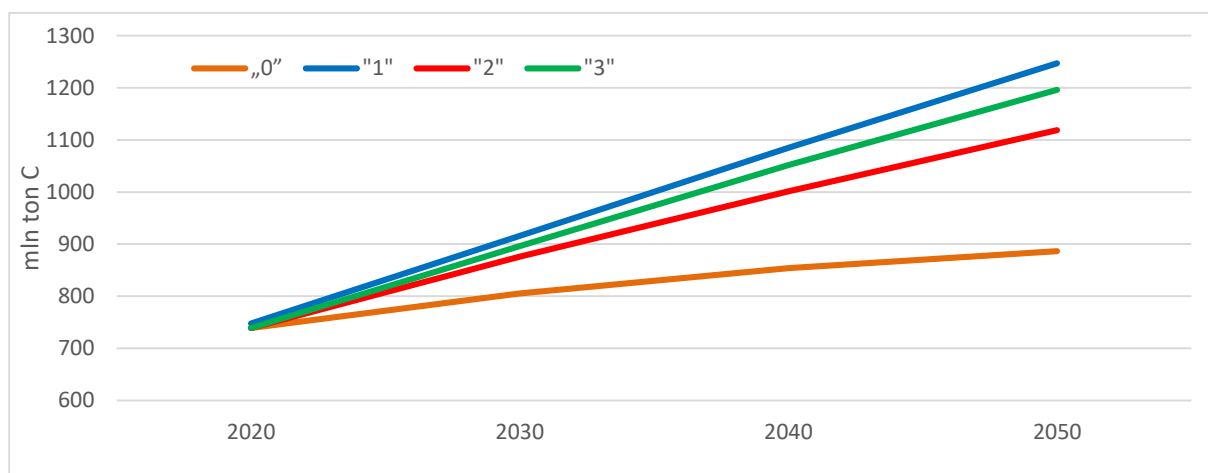
Tabela 26 Zmiana zasobów zakumulowanego węgla w żywej biomacie

| Zmiana zasobów węgla ogółem [mln t/10 lat] | | | | | | | | | |
|--|-----------|-----------|------------------------|-----------|-----------|------------------------|-----------|-----------|-----------|
| Żywa biomasa | | | Żywa biomasa nadziemna | | | Żywa biomasa podziemna | | | |
| | 2020-2029 | 2030-2039 | 2040-2049 | 2020-2029 | 2030-2039 | 2040-2049 | 2020-2029 | 2030-2039 | 2040-2049 |
| "0" | 75,3 | 65,5 | 22,3 | 66,5 | 48,4 | 32,7 | 8,8 | 17,1 | -10,4 |
| "1" | 175,6 | 208,6 | 199,6 | 168,1 | 169,2 | 162,0 | 7,5 | 39,4 | 37,6 |
| "2" | 156,1 | 156,9 | 133,2 | 137,2 | 124,9 | 117,9 | 18,9 | 32,0 | 15,3 |
| "3" | 184,6 | 192,4 | 175,8 | 157,5 | 155,2 | 144,5 | 27,2 | 37,3 | 31,3 |
| Zmiana zasobów węgla ogółem [t/ha/10 lat] | | | | | | | | | |
| Żywa biomasa | | | Żywa biomasa nadziemna | | | Żywa biomasa podziemna | | | |
| | 2020-2029 | 2030-2039 | 2040-2049 | 2020-2029 | 2030-2039 | 2040-2049 | 2020-2029 | 2030-2039 | 2040-2049 |
| "0" | 10,7 | 9,3 | 3,2 | 9,5 | 6,9 | 4,7 | 1,3 | 2,4 | -1,5 |
| "1" | 25,0 | 29,7 | 28,5 | 24,0 | 24,1 | 23,1 | 1,1 | 5,6 | 5,4 |
| "2" | 22,3 | 22,4 | 19,0 | 19,6 | 17,8 | 16,8 | 2,7 | 4,6 | 2,2 |
| "3" | 26,3 | 27,4 | 25,1 | 22,5 | 22,1 | 20,6 | 3,9 | 5,3 | 4,5 |
| Procent zmiany zasobów węgla ogółem [%] | | | | | | | | | |
| Żywa biomasa | | | Żywa biomasa nadziemna | | | Żywa biomasa podziemna | | | |
| | 2020-2029 | 2030-2039 | 2040-2049 | 2020-2029 | 2030-2039 | 2040-2049 | 2020-2029 | 2030-2039 | 2040-2049 |
| "0" | 8,1 | 6,5 | 2,1 | 9,0 | 6,0 | 3,8 | 4,7 | 8,8 | -4,9 |
| "1" | 18,5 | 18,6 | 15,0 | 22,5 | 18,5 | 14,9 | 3,8 | 19,1 | 15,3 |
| "2" | 16,9 | 14,5 | 10,8 | 18,6 | 14,3 | 11,8 | 10,2 | 15,6 | 6,5 |
| "3" | 20,0 | 17,3 | 13,5 | 21,3 | 17,3 | 13,7 | 14,6 | 17,5 | 12,5 |



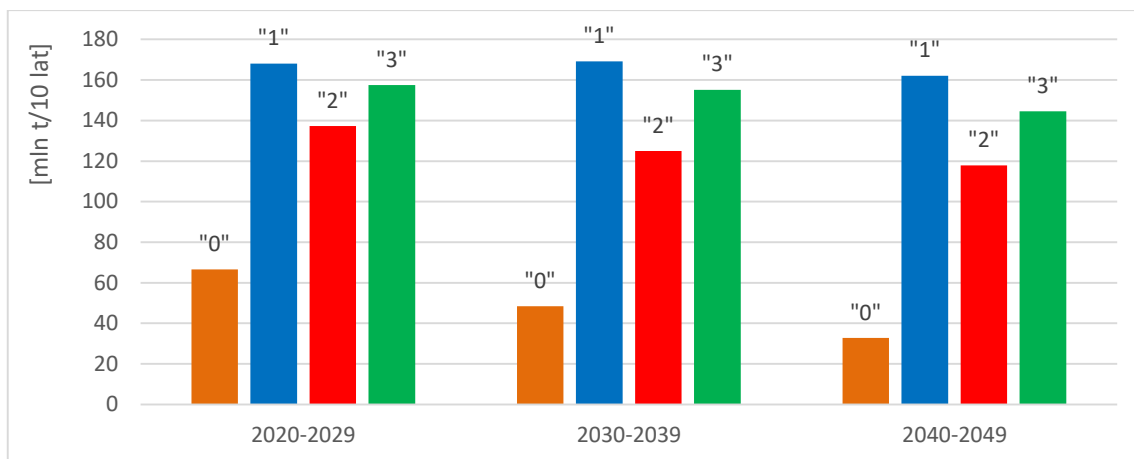
Rysunek 14 Procent zmiany zasobów zakumulowanego węgla w żywej biomacie [%] w kolejnych okresach prognozy

Ilość zakumulowanego węgla w biomase określono dla poszczególnych wariantów, a następnie obliczono ilość węgla zakumulowanego w biomase nadziemnej dla gruntów PGLLP niezależnie od tego czy byłyby to drzewostany wyłączone z użytkowania czy z prowadzoną gospodarką leśną. W okresie objętym analizą w zależności od przyjętego wariantu ilość zakumulowanego węgla byłaby zróżnicowana (Tabela 22, Tabela 23, Rysunek 15). Zauważyć można iż najlepszy efekt, jeżeli mowa o maksymalizacji ilości związanego węgla osiągnięty byłby w scenariuszach opartych o wyłączenie znacznej powierzchni gruntów leśnych z użytkowania.



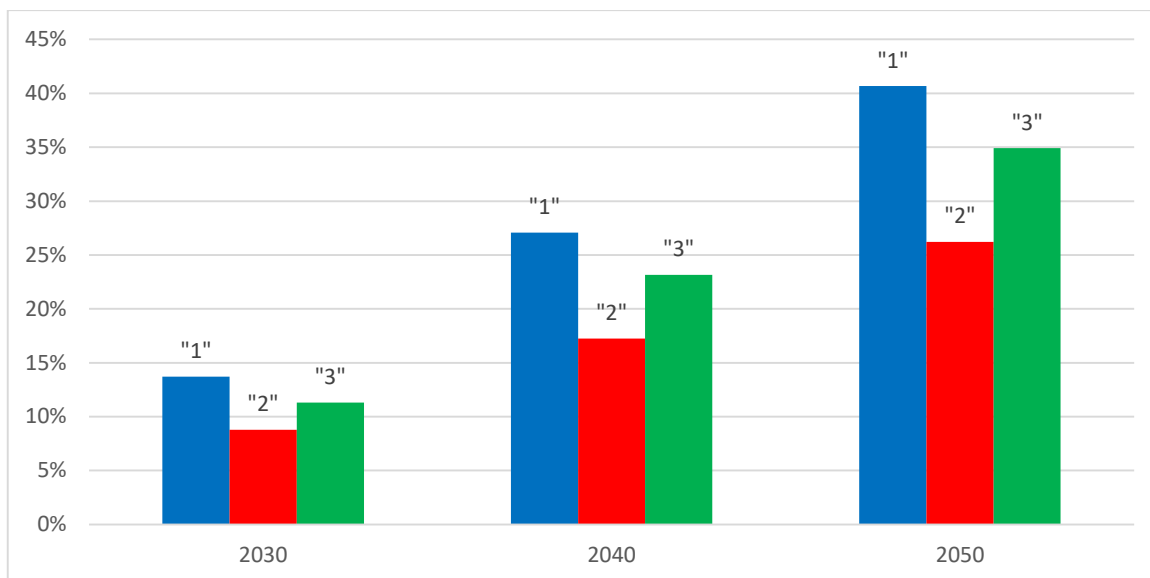
Rysunek 15 Ilość węgla zakumulowanego w biomase nadziemnej w kolejnych okresach prognozy

Parametrem istotnym z punktu widzenia walki ze zmianami klimatu jest zdolność lasów do wiązania węgla. Tempo wiązania węgla w żywej biomase nadziemnej w kolejnych okresach maleje, niezależnie od przyjętego scenariusza analiz (Rysunek 16). W scenariuszu „1” obniżenie tempa wiązania węgla w kolejnych okresach jest minimalne ale występuje.



Rysunek 16 Zmiana ilości związanego węgla w zasobach biomasy nadziemnej

Innym parametrem mogącym opisywać znaczenie wyłączenia znacznych powierzchni drzewostanów z użytkowania jest procentowy wzrost ilości związanego węgla w biomasy nadziemnej w odniesieniu do wariantu „0”. W kolejnych okresach prognozy znaczenie wyłączenia drzewostanów z gospodarki leśnej wzrastało prowadząc do większego tempa pochłaniania węgla (Rysunek 17). W pierwszym dziesięcioletnim okresie wzrost ilości związanego węgla w biomasy nadziemnej we wszystkich scenariuszach był porównywalny i było to około 9-14% w stosunku do scenariusza „0”. W kolejnych dziesięcioletnich okresach różnica w ilości zakumulowanego węgla zwiększała się. Największa różnica była w scenariuszu, w którym wyłączono drzewostany z użytkowania ze względu na wiek („1” – 41%) a najmniejszy efekt uzyskano wyłączając nadleśnictwa górskie oraz m.in. leśne kompleksy promocyjne, a więc wyłączone ze względu na znaczenie przyrodnicze („2” – 26%).



Rysunek 17 Procentowy wzrost ilości związanego węgla w biomasie nadziemnej w odniesieniu do wariantu „0”

5.6 Prognoza ilości zakumulowanego węgla w drewnie planowanym do pozyskania

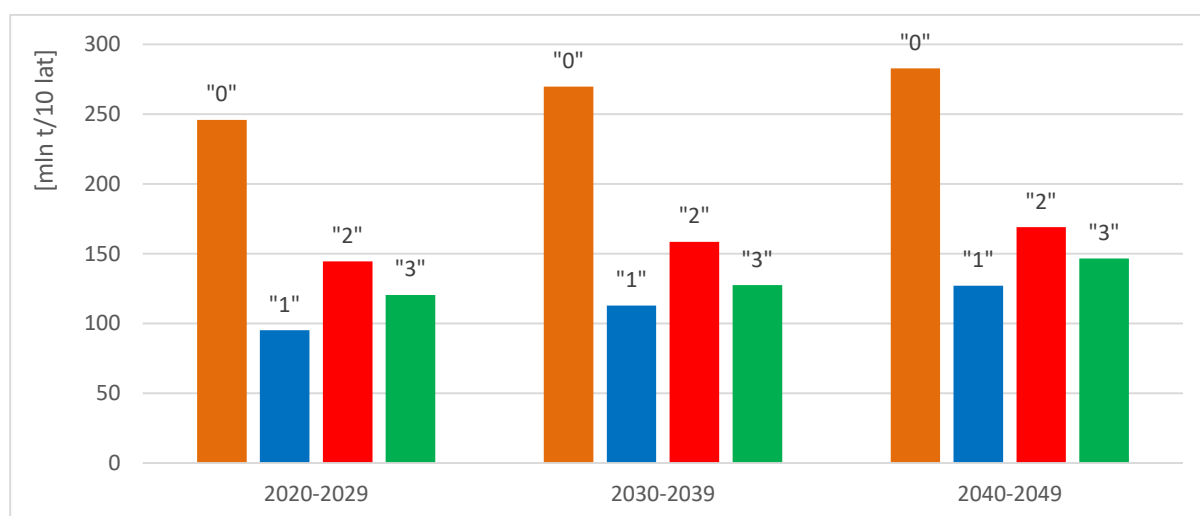
Analizując znaczenie lasów w wiązaniu dwutlenku węgla nie można zapomnieć o węglu związanym w pozyskanym drewnie. Należy mieć świadomość że cykl życia (LCA) produktów drzewnych jest zróżnicowany. Wykorzystanie drewna istotnie przyczynia się do powstrzymania zmian klimatycznych, bowiem zastępuje ono wykorzystanie paliw kopalnych (drewno energetyczne, opał) oraz (co niemniej ważne) zastępuje produkty, których wytworzenie jest energo chłonne, np. plastik, szkło, metal, beton, cegły, itp. Rezygnacja z wykorzystania drewna oznaczać będzie znaczący wzrost wykorzystania ww. nieekologicznych materiałów. Z tego punktu widzenia, niezależnie od długości wiązania w produktach drzewnych surowiec drzewny powinien być liczony in plus w bilansie CO₂.

Ze względu na ograniczony czas oraz dostępność materiałów źródłowych wykonano uproszczoną analizę ilości węgla w żywej biomasie naziemnej (miąższości pozyskanego drewna – etat netto) przyjmując iż węgiel przechowywany jest w produktach drzewnych dziesięć lat, czyli jeden okres prognozy. W oparciu przygotowane wcześniej prognozy oraz przyjęte założenia obliczono zasoby węgla zakumulowanego w pozyskanym drewnie w kolejnych okresach prognozy (Tabela 27, Rysunek 18).

Tabela 27 Zasoby węgla zakumulowanego w pozyskanym drewnie w kolejnych okresach prognozy

| Scenariusz | Zasoby węgla ogółem w pozyskanym drewnie [mln t/10 lat] | | | Zasoby węgla ogółem w pozyskanym drewnie [t/ha/10 lat] | | |
|------------|---|-----------|-----------|--|-----------|-----------|
| | 2020-2029 | 2030-2039 | 2040-2049 | 2020-2029 | 2030-2039 | 2040-2049 |
| "0" | 245,79 | 269,73 | 282,60 | 35,04 | 38,46 | 38,59 |
| "1" | 95,15 | 112,74 | 127,05 | 13,57 | 16,07 | 18,11 |
| "2" | 144,40 | 158,49 | 168,92 | 20,59 | 22,60 | 24,08 |
| "3" | 120,47 | 127,48 | 146,48 | 17,18 | 18,18 | 20,88 |

Ilość węgla związanego w pozyskanym drewnie (nadziemna biomasa) jest związana z rozmiarem pozyskania oraz strukturą gatunkową pozyskanego drewna.



Rysunek 18 Ilość węgla związanego w biomacie pozyskanego drewna

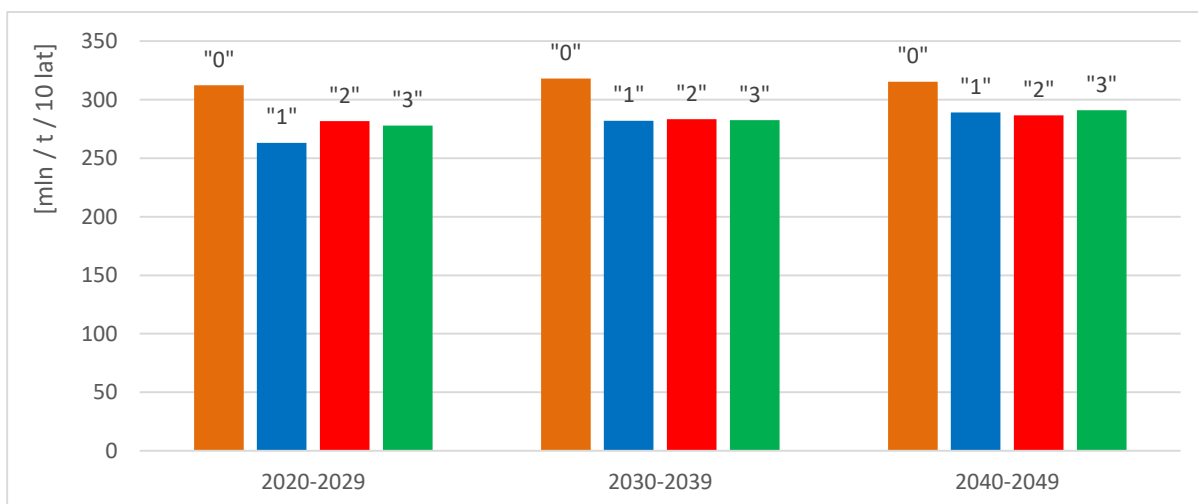
5.7 Prognoza ilości zakumulowanego węgla w biomacie oraz w drewnie planowanym do pozyskania

W związku z tym, iż węgiel związany w pozyskanym drewnie nie jest uwalniany natychmiast po pozyskaniu drewna przyjęto, iż średnio węgiel w drewnie przechowywany będzie przez dziesięć lat. W oparciu o to założenie postanowiono zsumować zmianę ilości związanego węgla w kolejnych okresach prognozy z ilością węgla zakumulowanego w pozyskanym drewnie w odniesieniu do poszczególnych scenariuszy (Tabela 28, Rysunek 19). Rozpatrując gospodarkę leśną prowadzoną przez PGLLP jako całość oraz scenariusze alternatywne, w kontekście ilości związanego węgla, najkorzystniejszy wydaje się być dotychczasowy scenariusz prowadzenia

gospodarki leśnej. Ilość związanego węgla w biomase naziemnej w połączeniu z ilością węgla związanego w pozyskanym drewnie największa jest w scenariuszu „0”. Pozostałe scenariusze, w kolejnych okresach prognozy cechują się bardzo zbliżonymi efektami, w kontekście ilości związanego węgla. W pierwszym okresie prognozy scenariusze alternatywne różnią się między sobą, ale w kolejnych okresach prognozy scenariusze alternatywne wykazują bardzo zbliżone ilości związanego węgla.

Tabela 28 Suma zmiany ilości związanego węgla w biomase naziemnej oraz ilości węgla związanego w drewnie do pozyskania [mln/t/10 lat]

| Scenariusz | 2020-2029 | 2030-2039 | 2040-2049 |
|------------|-----------|-----------|-----------|
| "0" | 312,30 | 318,10 | 315,31 |
| "1" | 263,21 | 281,97 | 289,06 |
| "2" | 281,63 | 283,40 | 286,77 |
| "3" | 277,96 | 282,66 | 291,01 |



Rysunek 19 Suma zmiany ilości związanego węgla sumarycznie w biomase naziemnej oraz ilości węgla związanego w drewnie do pozyskania

6 DYSKUSJA

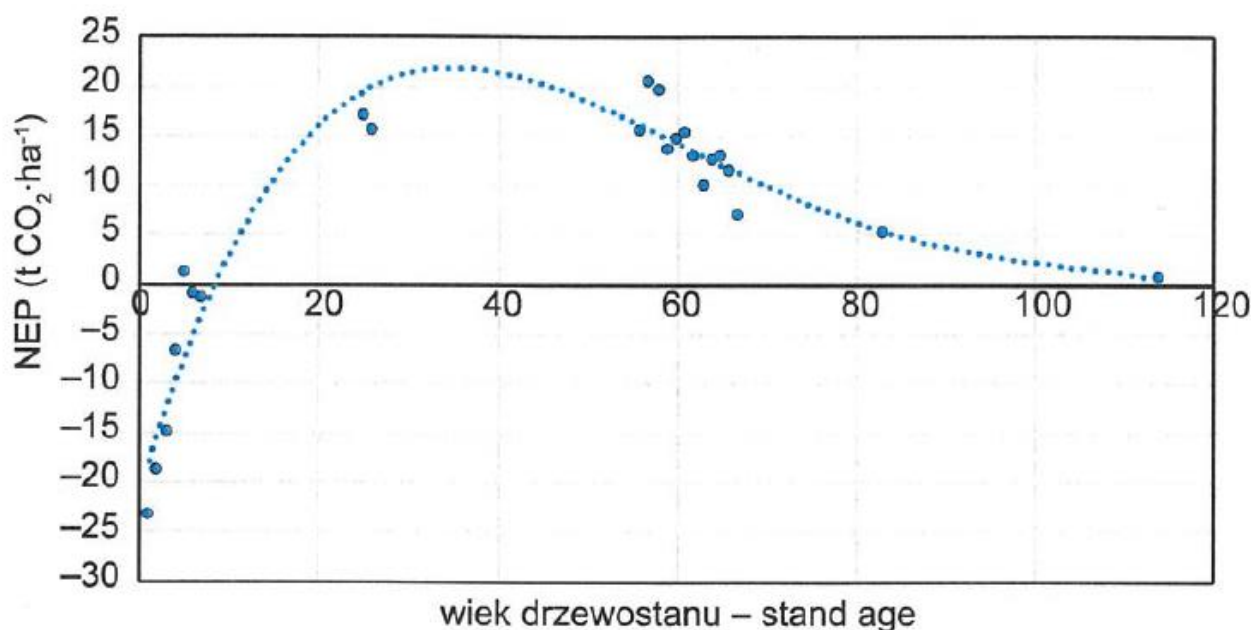
Jedną z podstawowych informacji niezbędnych do efektywnego zarządzania lasami jest informacja o stanie i strukturze zasobów drzewnych oraz prognoza ich zmian w dłuższej perspektywie czasowej. Proces podejmowania decyzji w planowaniu urządzeniowym podlega ciągłemu dostosowaniu do zmieniających się potrzeb związanych z prowadzeniem gospodarki leśnej (Miś 1984, 1989, Socha 2017). Jedną z najistotniejszych decyzji, podejmowaną przez leśników, mającą zapewnić trwałość oraz właściwy rozwój lasu stale pozostaje prawidłowe ustalenie rozmiaru użytkowania rębnego (Banaś 1996), nie tylko w planach urządzenia lasu sporządzanych na 10 lat, ale także w prognozach rozwoju zasobów w dłuższych okresach. Wyniki takich prognoz mogą być stosowane w planowaniu urządzeniowym, planowaniu strategicznym oraz kształtowaniu polityki leśnej.

W ekspertyzie wykonywano prognozy przygotowane zgodnie z podejściem indukcyjnym. W tym sposobie prognozowania – na podstawie zdarzeń zaistniałych w przeszłości – analizuje się możliwe etapy, kierunki i skutki rozwoju przewidywanych zjawisk. Prognozy indukcyjne umożliwiają odpowiedź na pytanie: „jaki będzie skutek, jeżeli zostaną wykonane działania według określonych założeń”. Do konstruowania takich prognoz wykorzystuje się informacje dotyczące struktury powierzchniowej i miąższościowej obszaru leśnego w układzie tabeli klas wieku oraz wiedzę o sposobie transformacji zaistniałych zdarzeń w spodziewane przyszłe zdarzenia (wykorzystując w szczególności empiryczne szacunki zjawisk przeżywania i ubywania drzewostanów w klasach wieku). Metoda ta daje obecnie zadowalające wyniki, w scenariuszach prowadzenia zrównoważonej gospodarki leśnej w sposób zbliżony do zasad stosowanych aktualnie w Lasach Państwowych w Polsce. Wyłączenie z prowadzenia gospodarki leśnej wybranych obszarów leśnych (warianty scenariuszy „1B”, „2B”, „3B”) nie ma historycznego odzwierciedlenia w praktykach leśnych na większych obszarach. W związku z brakiem możliwości uwzględnienia naturalnej śmiertelności drzew oraz możliwości wystąpienia potencjalnych zjawisk wielkopowierzchniowego osłabienia lub rozpadów lasów, trudno oszacować ich udział w zmianach stanu lasów.

Elementem, na który zwraca się uwagę w Unijnej Strategii na rzecz bioróżnorodności 2030 jest zdolność lasów, zwłaszcza lasów pierwotnych i starodrzewów, do pochłaniania i składowania znacznych zasobów węgla. Zagadnienie wielkości pochłaniania dwutlenku węgla przez starsze

drzewostany jest skomplikowane i zależne od wielu czynników. Starsze drzewostany mają istotny wpływ na pochłanianie dwutlenku węgla, w dużej mierze jest on uzależniony od składu gatunkowego drzewostanów (Knohl et al., 2003). Starodrzewy przyczyniają się globalnie do pochłaniania dwutlenku węgla, ale nie są chronione międzynarodowymi traktatami, ponieważ powszechnie uważa się, że starzejące się lasy przestają gromadzić dwutlenek węgla (Luysaert et al. 2008). Stare niezarządzane drzewostany stanowią ponad 30% światowego udziału lasów, ich duża biomasa zakumulowała w długim czasie duże zasoby dwutlenku węgla. W przypadku uszkodzenia tych obszarów, zakumulowany węgiel (nawet w glebie) wróciłby w dużych ilościach do atmosfery. Z tego względu konieczna jest ich ochrona i utrzymanie (Luysaert et al. 2008). Lasy w Polsce są na zdecydowanej większości obszarów silnie przekształcone, w związku z prowadzoną wielofunkcyjną gospodarką leśną, a tylko nieznaczny ich obszar można traktować jako zbliżone do lasów niezarządzanych.

Pozostawienie drzewostanów do uzyskania dojrzałości ekologicznej, prowadzi do stanu, kiedy respiracja drzew w przybliżeniu może zrównoważyć fotosyntezę. Tym samym, funkcja drzewostanu jako pochłaniacza CO₂ zmaleje (Mackey et al., 2013). Dojrzałe ekologicznie drzewostany >200 lat mogą nadal pełnić funkcję pochłaniaczy, ale zależy to od lokalnych warunków klimatycznych



Rysunek 20 Zdolność pochłaniania CO₂ w drzewostanach sosnowych w Polsce w zależności od wieku (Źródło: Olejnik i Małek 2020 s. 395)

W warunkach polskich ekosystemy leśne złożone z młodych drzewostanów sosnowych są emitentem netto. Z wiekiem drzewostanów pochłanianie zaczyna przeważać, a największe pochłanianie ma miejsce w drzewostanach młodszych i średniowiekowych (20-60 lat), następnie zmniejsza się i w drzewostanach w wieku ponad 100 lat pochłanianie jest zbliżone do emisji (Rysunek 20) (Olejnik i Małek 2020, Ziemblińska i in. 2018).

Z badań porównujących długoterminowy bilans węgla w lasach borealnych wynika, że w dłuższej perspektywie, pozostawienie lasu gospodarczego bez zarządzania przyczynia się początkowo do wzrostu bilansu węgla przez kilka kolejnych dekad, po czym słabnie, aż do poziomu bliskiego zeru w perspektywie około 200 lat (Pukkala, 2017).

Znaczenie ochrony lasów naturalnych i pierwotnych w Europie jest podkreślane, również z punktu widzenia ekonomicznego. Ich ochrona jest wydajniejsza ekonomicznie w porównaniu do potrzeby ich regeneracji (IUCN, 2016). Lasy pierwotne (o długiej historii wzrostu lasów) magazynują więcej węgla na hektar powierzchni leśnej w porównaniu do lasów gospodarczych, zdegradowanych lub plantacji zasadzonych w porównywalnych warunkach siedliskowych (Sabatini et al., 2020). Należy mieć jednak na uwadze, że jeśli dla drzewostanów gospodarczych, doliczy się węgiel związany przez nie w biomacie, do ilości węgla związanego w produktach drzewnych, które powstały z pozyskanego w trakcie jego wzrostu, to lasy gospodarcze uzyskują przewagę – jeśli chodzi o łączną ilość CO₂ (rys. 4 Schulze et al., 2021). Potwierdzają to także wyniki ekspertyzy (Rysunek 19). Nie uwzględnianie znaczenia pozyskanego drewna w wiązaniu dwutlenku węgla wynika m.in. z tego, iż w przypadku IPCC węgiel w drewnie, który jest usuwany z lasu, jest uważany za bezpośrednio "emitowany". Aby uniknąć podwójnego liczenia emisji, emisje z drewna nie są opisywane w sektorze "energetycznym", gdy są spalane i nie są przypisywane sektorowi "energii" (Schulze et al., 2021).

Należy mieć na uwadze, że wykorzystanie drewna ma dwa skutki dla łagodzenia zmiany klimatu: (1) wpływa na ilość węgla związanego w produktach drzewnych oraz (2) zastępuje materiały, które wymagają większej ilości energii kopalnej do ich produkcji niż produkty drzewne (substytucja produktu, substytucja materiałów). Zgodnie z obecnymi umowami międzynarodowymi tylko pula produktów drzewnych jest obecnie zaliczona do wkładu sektora leśnego i drzewnego w ochronę klimatu (Schulze et al., 2021).

Schulze i in (2021) w swoich badaniach zwracają uwagę, na to iż ilość węgla przez nie związana przez produkty drzewne pozostaje prawie stała przez dłuższy czas przy obecnym użytkowaniu. Zwiększenie puli produktów z drewna równoważy emisję gazów cieplarnianych w atmosferze bez bezpośredniego zmniejszenia zużycia paliw kopalnych. Zasadniczo wszystkie produkty drzewne mogą być również wytwarzane z innych materiałów. A jednocześnie substytucja produktów nie jest zgłaszana w bilansie gazów cieplarnianych zgodnie z wytycznymi IPCC (2006).

Lasy w Europie zapewniają niezbędne siedliska dla różnorodności biologicznej i podstawowych usług ekosystemowych, których zapewnienie należy utrzymać lub wzmocnić w nadchodzącym stuleciu (Biber et al., 2020). Wyniki badań Bibera i in. (2020) ujawniły brak obniżenia wartości wskaźników bioróżnorodności wraz ze wzrostem produkcji drewna, a w niektórych przypadkach efekty synergiczne wystąpiły, gdy różnorodność była aktywnie promowana w ramach prowadzenia zrównoważonej gospodarki leśnej. Absorpcja węgla netto nie była silnie skorelowana z różnorodnością biologiczną, co wskazuje, że gospodarka leśna przyjazna dla różnorodności biologicznej nie musi ograniczać sekwestracji dwutlenku węgla. W badaniach Bibera i in. (2020) większość scenariuszy charakteryzowała się mniej lub bardziej zmniejszonym pochłanianiem węgla netto w perspektywie długoterminowej, często z powodu zmian w rozkładzie klas wiekowych drzewostanów.

Wdrożenie Unijnej Strategii jako elementu Europejskiego Zielonego Ładu będzie wymagało prowadzenia gospodarki leśnej w obiegu zamkniętym uwzględniając m. in. potrzebę zaspokajania społeczeństwa w drewno, zabezpieczania potrzeb gospodarki umożliwiając zarówno produkcję drewna, jak i ochronę różnorodności biologicznej. Rosnący popyt na produkty z drewna zwiększa antropogeniczną presję na różnorodność biologiczną lasów (Profft et al., 2009).

Przyjęte w ekspertyzie alternatywne scenariusze i warianty opierały się na założeniu wyłączenia z użytkowania arealu około 2,7 mln ha lasów. Dla każdego scenariusza zastosowano wyliczone na podstawie obecnych praktyk gospodarki leśnej wskaźniki (wielkości bieżącego przyrostu miąższości i intensywności użytkowania) dostosowane do wybranych obszarów leśnych. W krótkiej perspektywie (w kontekście gospodarki leśnej to około 30 lat) wyłączenie znacznych powierzchni obszarów leśnych spowoduje teoretycznie wzrost zasobów, średniego wieku oraz przeciętnej zasobności. W dłuższej perspektywie, m.in. w związku z

prawdopodobną utratą stabilności drzewostanów, zagrożeniami abiotycznymi i biotycznymi, stan i struktura lasów ulegną zmianie, a prognozowane w ekspertyzie efekty gospodarcze i ekonomiczne nie będą łatwe do osiągnięcia.

Ekosystemy leśne cechują się długoterminowymi cyklami rozwojowymi. W przypadku drzewostanów zagospodarowanych występują fazy rozwoju wynikające ze sposobu prowadzenia gospodarki leśnej. W lasach nieużytkowanych spodziewać się należy naturalnych faz rozwojowych. Na obszarach, na których od dawna nie prowadzi się gospodarki leśnej, występują wszystkie naturalne fazy rozwojowe drzewostanów (Miścicki 2012). Przygotowane scenariusze prognozy, w przypadku ich wprowadzenia, spowodują znaczące zmiany struktury lasów, zarówno w stosunku do modelu lasów zagospodarowanych, jak też będą dalekie od lasów o charakterze zbliżonym do naturalnego. Wydaje się, że szczególnie scenariusz „1” jest podejściem trudnym do wprowadzenia do praktyki. W scenariuszu „2” i „3” wyłączenie określonych obszarów wydaje się bardziej możliwe, z zastrzeżeniem trudnego do zaakceptowania, ujęcia w tej grupie lasów w trakcie prowadzonej przebudowy (w klasach odnowienia). Wszystkie scenariusze charakteryzuje przyjęta arbitralnie powierzchnia około 2,7 mln ha. Ze względu na zagrożenia dla trwałości lasów oraz przestrzennie rozmieszczone powierzchnie w trakcie przebudowy (klasy odnowienia), powierzchnia ta wydaje się zdecydowanie za duża i nie możliwa do wprowadzenia do praktyki leśnej. Podjęcie decyzji co do wyłączenia z prowadzenia gospodarki leśnej obszarów podlegających zmianom w szczególności utrudniają:

- obszary objęte działaniami gospodarczymi związanymi z przebudową drzewostanów (w tym w klasach odnowienia),
- powierzchnie lasów z zalesień gruntów porolnych, po drugiej wojnie światowej, charakteryzujące się małym zróżnicowaniem wiekowym i istotnym oddziaływaniem czynników biotycznych;
- niestabilne i opanowane przez choroby obszary lasów górskich (szczególnie ze świerkiem);
- nizinne obszary leśne pod presją suszy, jemioly i szkodników owadzych.

Wymienione powierzchnie wymagają aktywnych działań i stanowią bardzo istotny udział w ogólnej powierzchni lasów w zarządzie PGL LP.

7 PODSUMOWANIE

Wprowadzenie Unijnej Strategii na rzecz bioróżnorodności może mieć niekorzystne znaczenie gospodarcze oraz społeczno-ekonomiczne. Pracę nad wdrożeniem Strategii należy poprzedzić szeroką analizą możliwości uwzględnienia lasów Polski w różnych obszarach proponowanych działań wymienionych w dokumencie. W celu optymalnego wdrożenia, dla PGL Lasy Państwowe oraz założeń Strategii na rzecz bioróżnorodności, należy opracować mapę drogową dla działań w polskich lasach oraz w pozostałych ekosystemach lądowych. W szczególności powinna ona objąć m.in.:

- obszary obecnie chronione oraz nowe obszary możliwe do objęcia ochroną częściową i ścisłą;
- obszary wymagające przebudowy w związku z zagrożeniami trwałości lasu;
- obszary siedlisk przyrodniczych, dla których należy zachować lub poprawić stan ochrony;
- zintegrować sieć ochrony pomiędzy ekosystemami leśnymi i innymi ekosystemami chronionymi, aby poprawić korytarze ekologiczne krajowe i transgraniczne;
- przyszłe badania powinny ocenić również analizę skutków społeczno-ekonomicznych oraz wpływ przyjętego modelu prowadzenia gospodarki leśnej na usługi ekosystemowe świadczone przez lasy.

Reasumując:

- 1) Objęcie znacznych obszarów lasów ochroną ścisłą (2,7 mln ha) spowoduje **zwiększenie zasobów drzewnych** w stosunku do wariantu bazowego o około **25%** („2”) – **38%** („1”) oraz znaczny **wzrost średniego wieku drzewostanów** (w wariantcie „1” – 88 lat).
- 2) **Prognozowany rozmiar pozyskania drewna** znacząco **zmniejszy się**. Prognozowane jest pozyskiwanie od **38%** („1”) do **62%** („2”) prognozowanej miąższości drewna wariantu bazowego („0”). Spowoduje to, iż osiągnęte **przychody** z tytułu sprzedaży drewna będą stanowiły od niespełna **34%** („1”) do **62%** („2”) przychodów możliwych do uzyskania przy realizacji założeń dotychczas prowadzonej zrównoważonej gospodarki leśnej („0”).
- 3) W wyniku wyłączenia znacznych powierzchni z użytkowania procentowy **wzrost ilości związanego węgla w biomase nadziemnej** w odniesieniu do wariantu „0” od około **10%** w pierwszym okresie do **26%** („2”) – **41%** („1”) w trzecim okresie prognozy. Analizując **sumę** zmiany ilości związanego węgla sumarycznie w **biomasie naziemnej** oraz ilości węgla związanego w **drewnie do pozyskania** **najkorzystniejsze efekty osiągnęte są w wariantcie bazowym („0”) w każdym z okresów prognozy.**

8 LITERATURA

- Banaś J. 1996. Prognozowanie rozmiaru użytkowania rębego w przerębowo-zrębowym sposobie zagospodarowania. *Sylwan* 140 (12): 41-46.
- Biber, P., Felton, A., Nieuwenhuis, M., Lindbladh, M., Black, K., Bahyl', J., Bingöl, Ö., Borges, J.G., Botequim, B., Brukas, V., Sedmák, R., Tuček, J., 2020. Forest Biodiversity, Carbon Sequestration, and Wood Production: Modeling Synergies and Trade-Offs for Ten Forest Landscapes Across Europe. *Front. Ecol. Evol.* 8. <https://doi.org/10.3389/fevo.2020.547696>
- IPCC Guidelines, 2006, <https://www.ipcc-nggip.iges.or.jp/public/2006gl/vol4.html>.
- IUCN. 2016. Protection of primary forests, including intact forest landscapes. In IUCN resolutions, recommendations and other decisions, (pp. 108–109). Gland, Switzerland: International Union for Conservation of Nature and Natural Resources. <https://portals.iucn.org/library/sites/library/files/documents/IUCN-WCC-6th-005.pdf>
- Knohl, A., Schulze, E.D., Kolle, O., Buchmann, N., 2003. Large carbon uptake by an unmanaged 250-year-old deciduous forest in Central Germany. *Agric. For. Meteorol.* 118, 151–167. [https://doi.org/10.1016/S0168-1923\(03\)00115-1](https://doi.org/10.1016/S0168-1923(03)00115-1)
- Luyssaert, S., Schulze, ED., Börner, A. et al. Old-growth forests as global carbon sinks. *Nature* 455, 213–215 (2008). <https://doi.org/10.1038/nature07276>
- Mackey, B., Prentice, I., Steffen, W. et al. Untangling the confusion around land carbon science and climate change mitigation policy. *Nature Clim Change* 3, 552–557 (2013). <https://doi.org/10.1038/nclimate1804>
- Miś R. 1984. Regulacja etatu cięć użytków rębnych przy zastosowaniu funkcji korzyści. *Sylwan* 128 (5): 23-31.
- Miś R. 1989. Regulacja produkcji drewna w ekosystemach leśnych. *Sylwan* 133 (8): 7-21.
- Miścicki S. 2012. Dynamika naturalnych faz rozwojowych drzewostanów w Białowieskim Parku Narodowym. *Sylwan* 156 (8):616-626. DOI: <https://doi.org/10.26202/sylwan.2011097>
- Olejnik J., Małek S. 2020. „Rola lasu w pochłanianiu dwutlenku węgla z atmosfery” red. Janusz Olejnik, Stanisław Małek. Wydawnictwo Uniwersytetu Przyrodniczego w Poznaniu
- Profft, I., Mund, M., Weber, G.E., Weller, E., Schulze, E.D., 2009. Forest management and carbon sequestration in wood products. *Eur. J. For. Res.* 128, 399–413. <https://doi.org/10.1007/s10342-009-0283-5>
- Pukkala, Timo, Does management improve the carbon balance of forestry? *Forestry* (2016), 10.1093/forestry/cpw043
- Sabatini, FM, Keeton, WS, Lindner, M, et al. Protection gaps and restoration opportunities for primary forests in Europe. *Divers Distrib.* 2020; 26: 1646– 1662. <https://doi.org/10.1111/ddi.13158>

Schulze, E.-D., Rock, J., Kroiher, F., Egenolf, V., Wellbrock, N., Irslinger, R., Bolte, A., Spellmann, H., 2021. Klimaschutz mit Wald. Biol. unserer Zeit 51, 46–54.

<https://doi.org/10.11576/biuz-4103>

Socha J. i in. 2017. Aktualna i potencjalna produktyjność siedlisk leśnych Polski dla głównych gatunków lasotwórczych. Kraków. Sprawozdanie końcowe z realizacji usługi badawczej wykonanej na zlecenie PGL LP

Wysocka-Fijorek E., Zajączkowski S. 2020. „Indukcyjna metodyka prognozy rozwoju zasobów drzewnych” Sylwan 164 (4):267-279, 2020. DOI: <https://doi.org/10.26202/sylwan.2019110>.

Tablice wydajności cięć pielęgnacyjnych. 1975. IBL, Warszawa.

Ziembliński K., Urbaniak M., Merbold T., Black T.A., Jagodziński A.M., Herbst M., Qiu Ch., Olejnik J. 2018. The carbon balance of a Scots pine forest following severe windthrow: Comparison of reforestation techniques. Agricultural and Forest Meteorology Volumes 260–261, 15 October 2018, Pages 216-228

Główny Autor